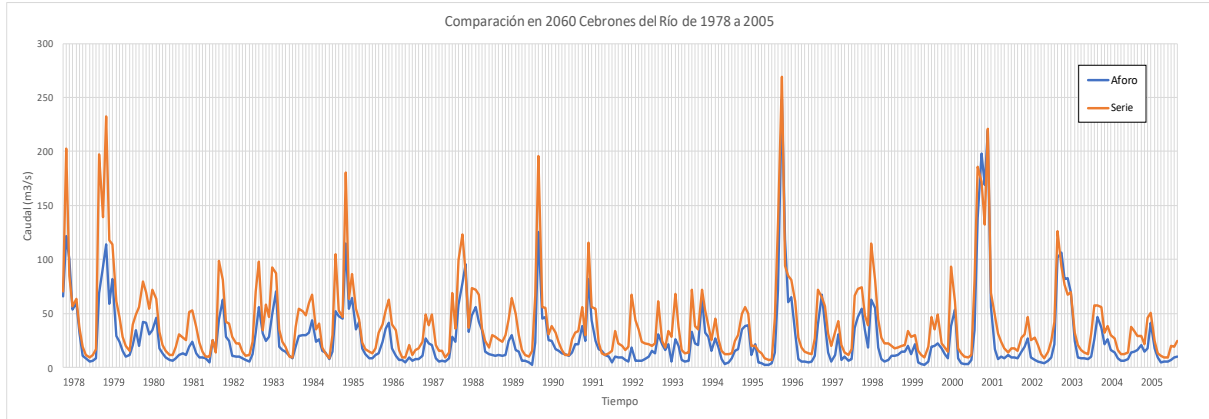


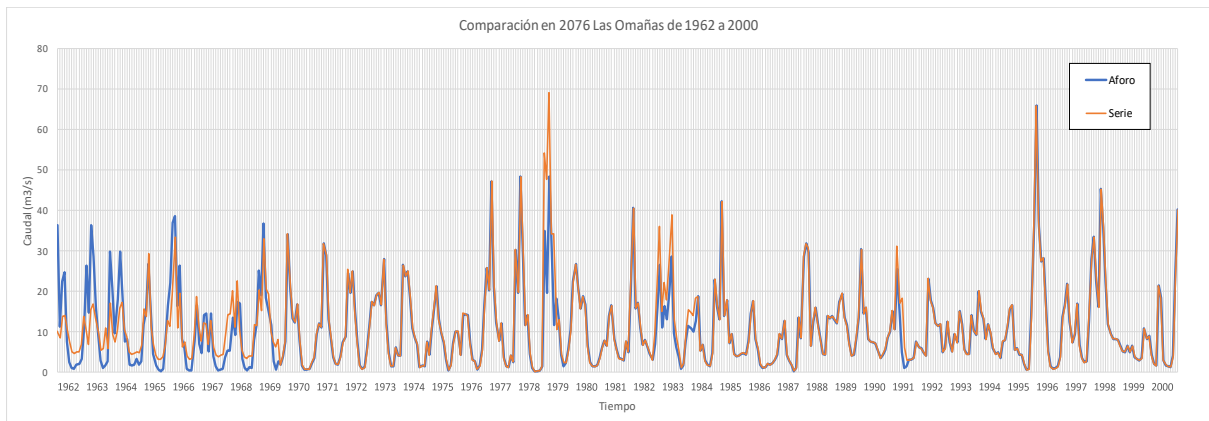
12. ANEXOS

Anexo 1. Gráficos de secuencia temporal

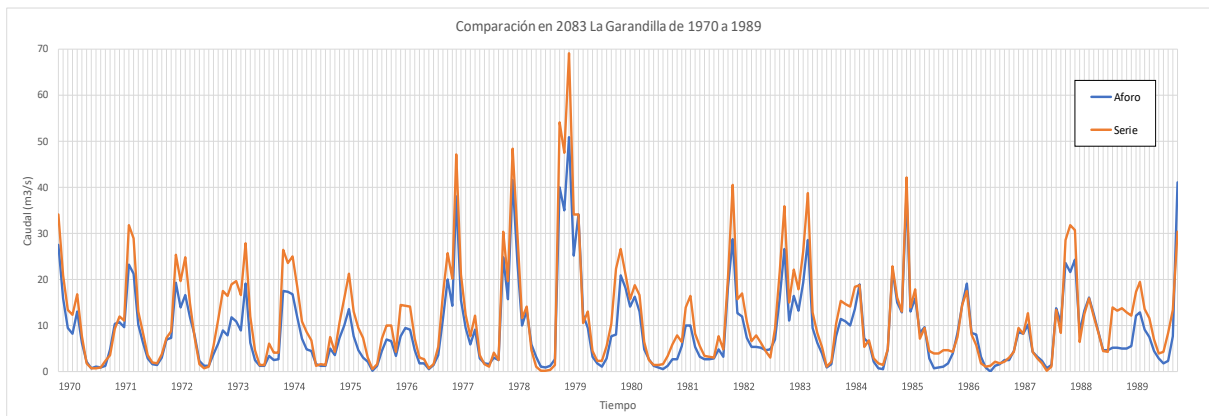
- Estación de aforo EA 2060 Cebrones del Río



- Estación de aforo EA 2076 Las Omañas

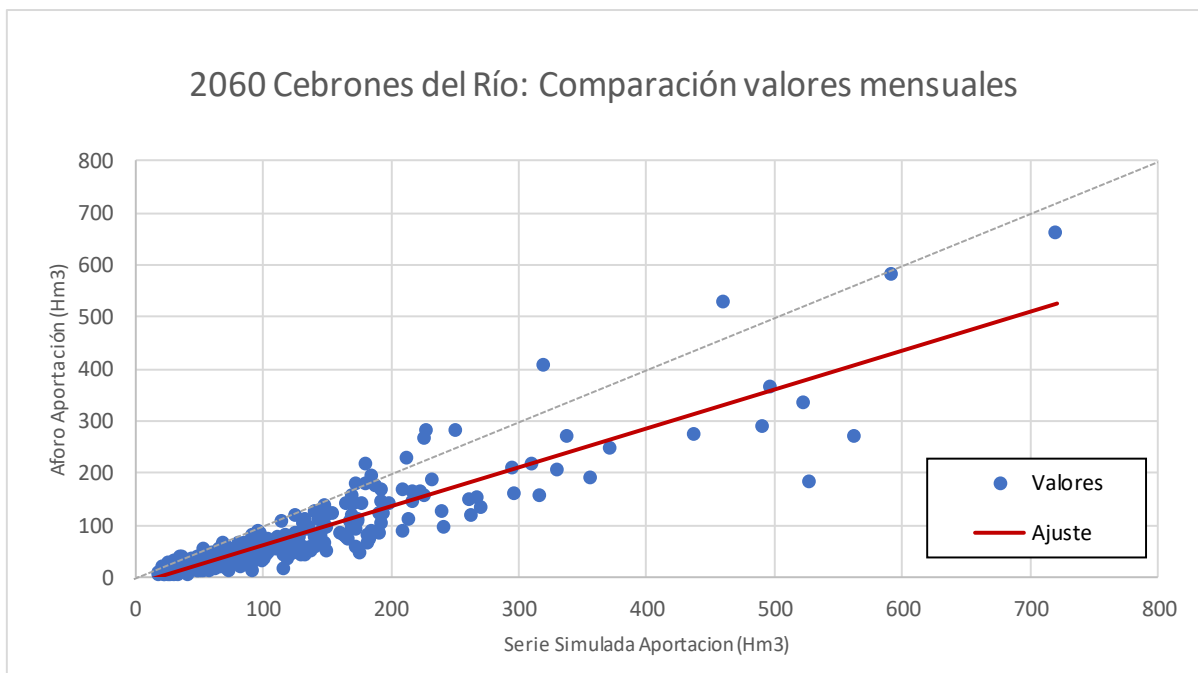
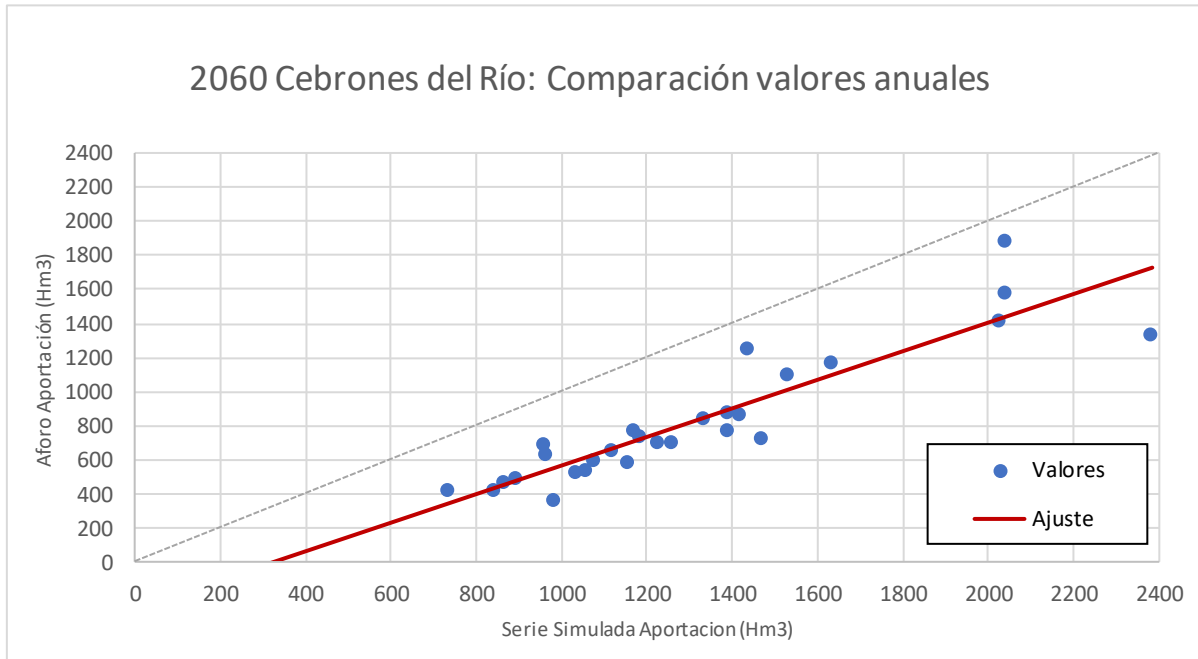


- Estación de aforo EA 2083 La Garandilla

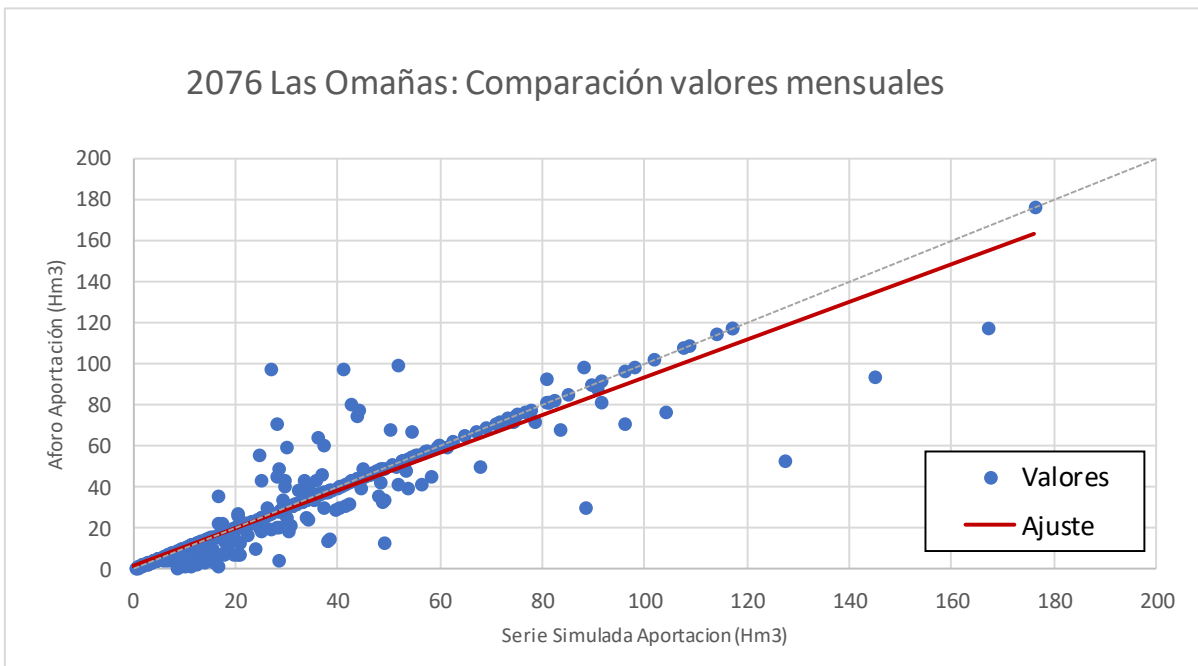
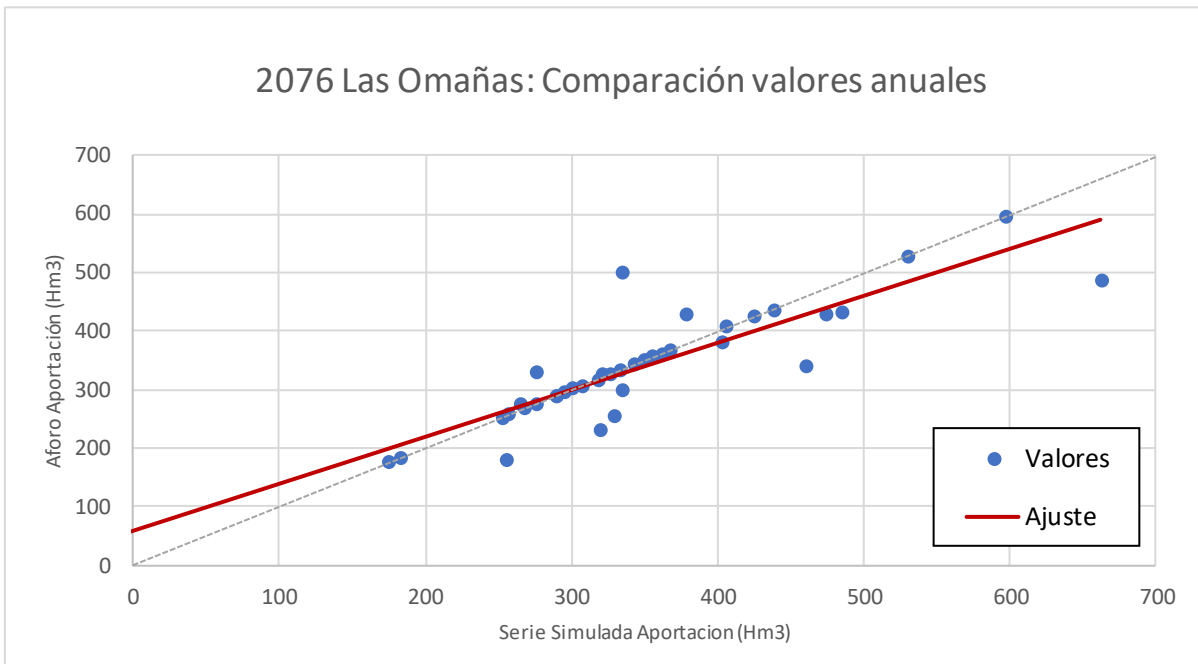


Anexo 2. Gráficos de dispersión

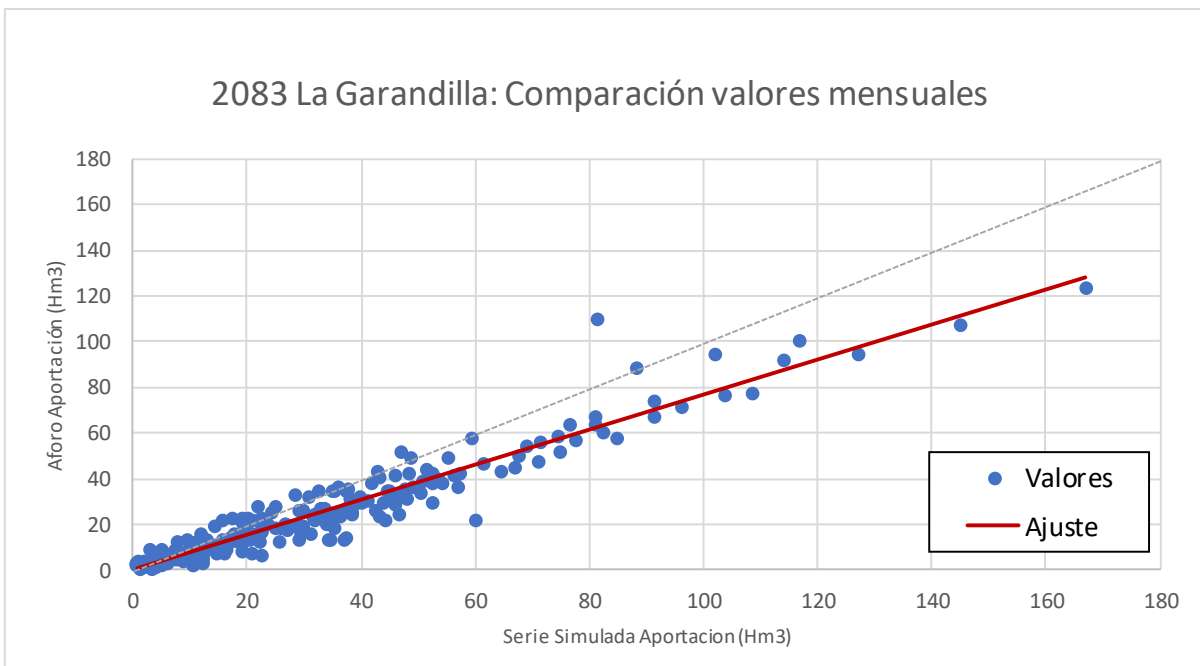
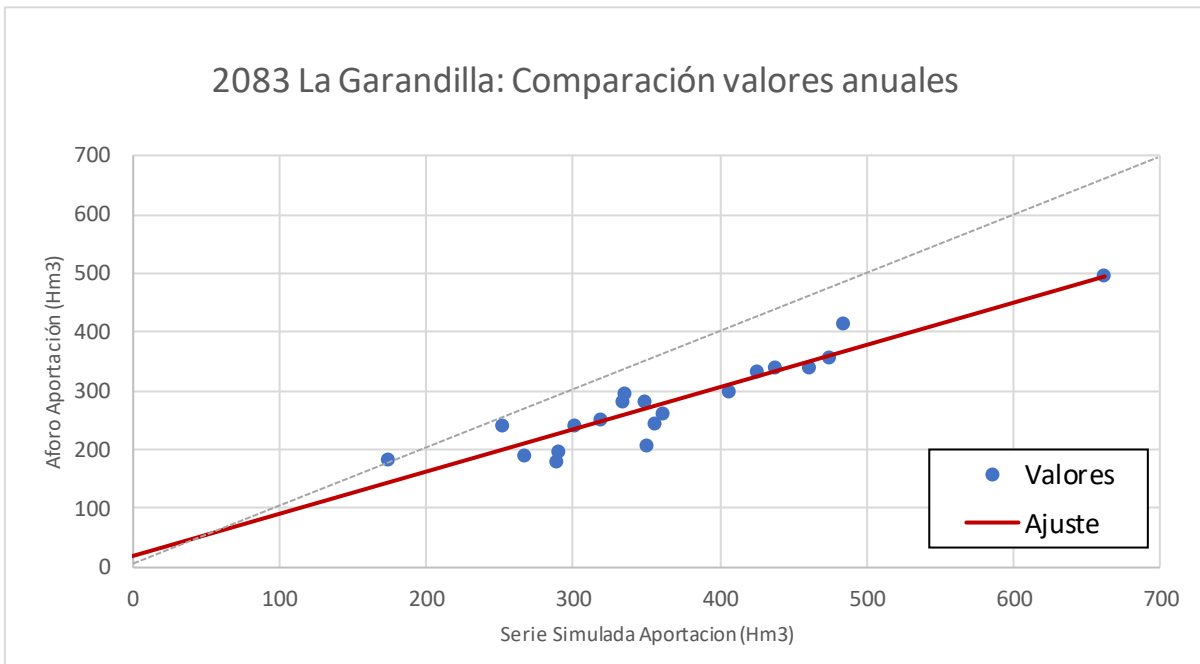
- Estación de aforo EA 2060 Cebrones del Río



- Estación de aforo EA 2076 Las Omañas

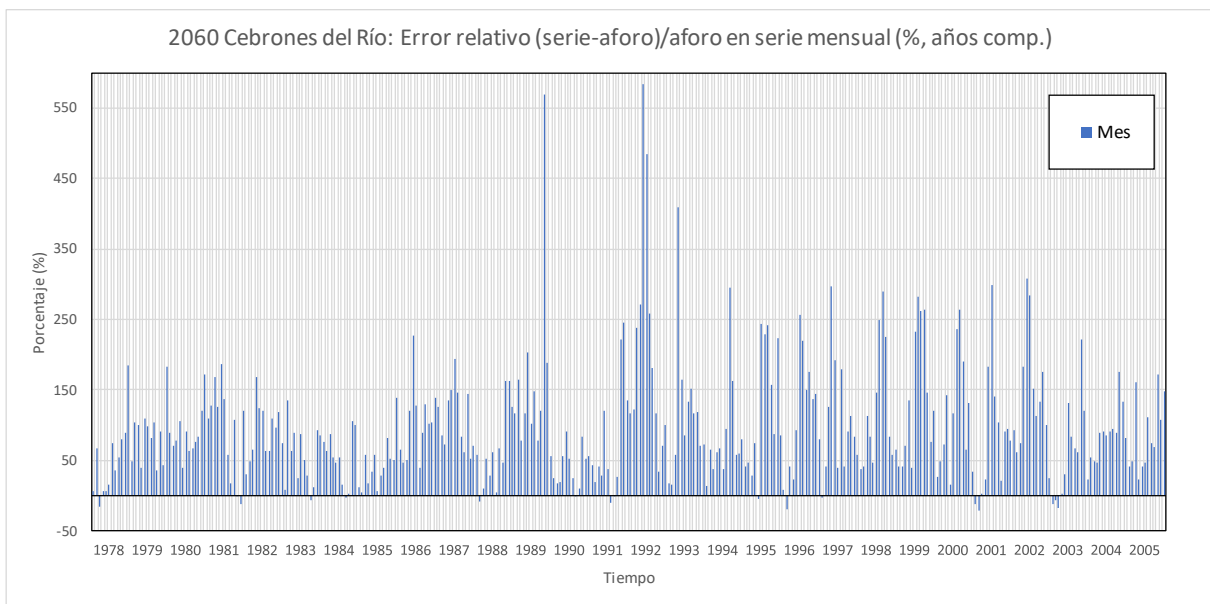
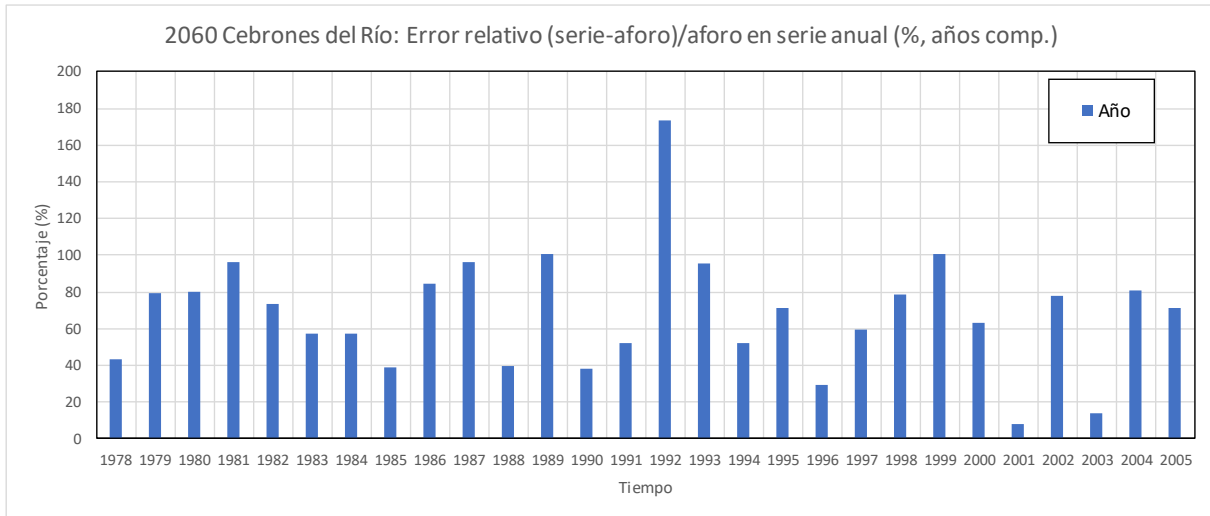


- Estación de aforo EA 2083 La Garandilla

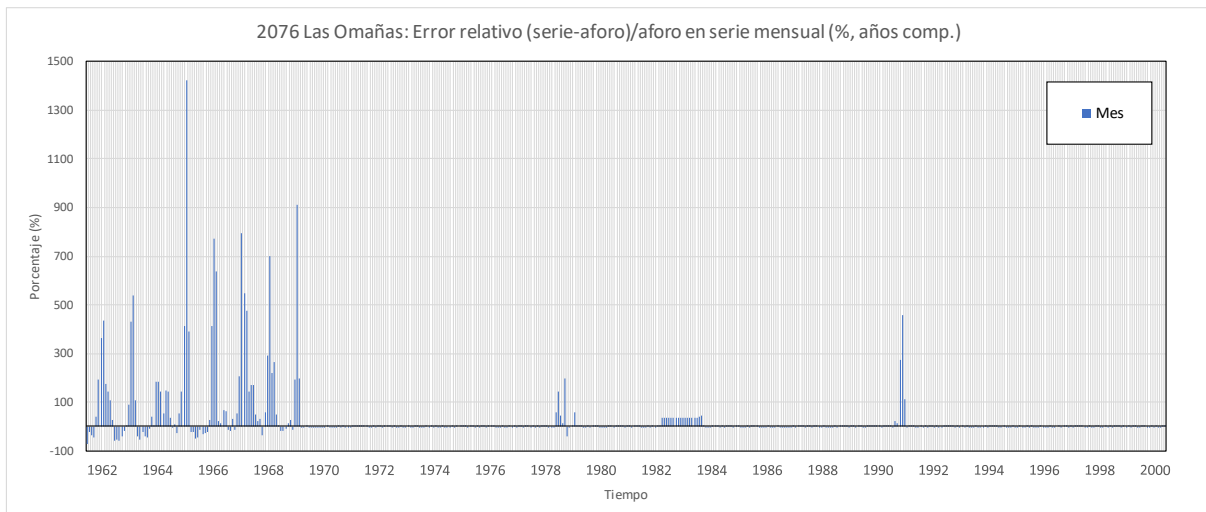
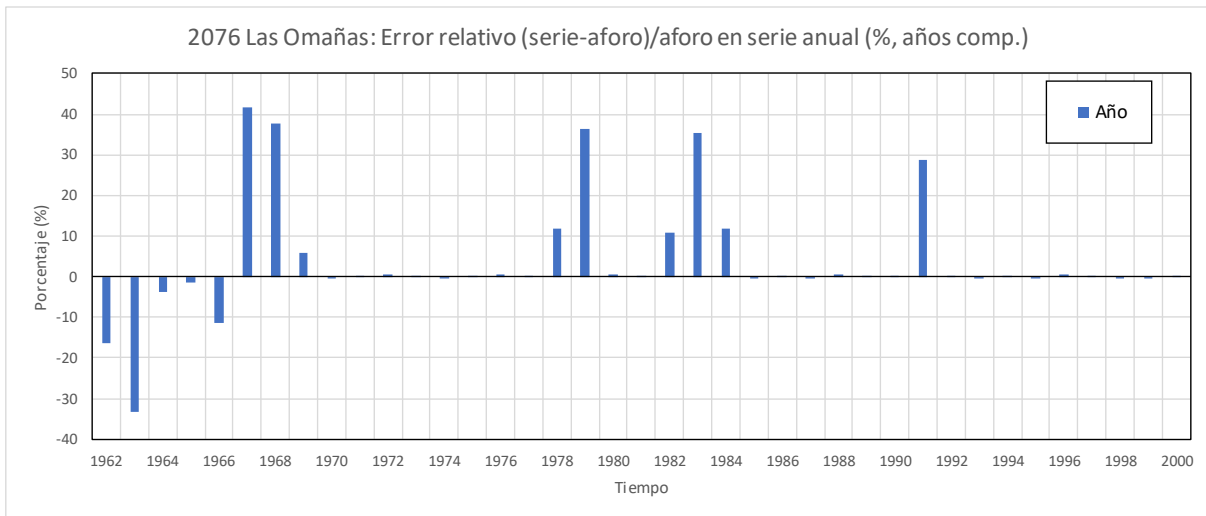


Anexo 3. Gráficos de error relativo

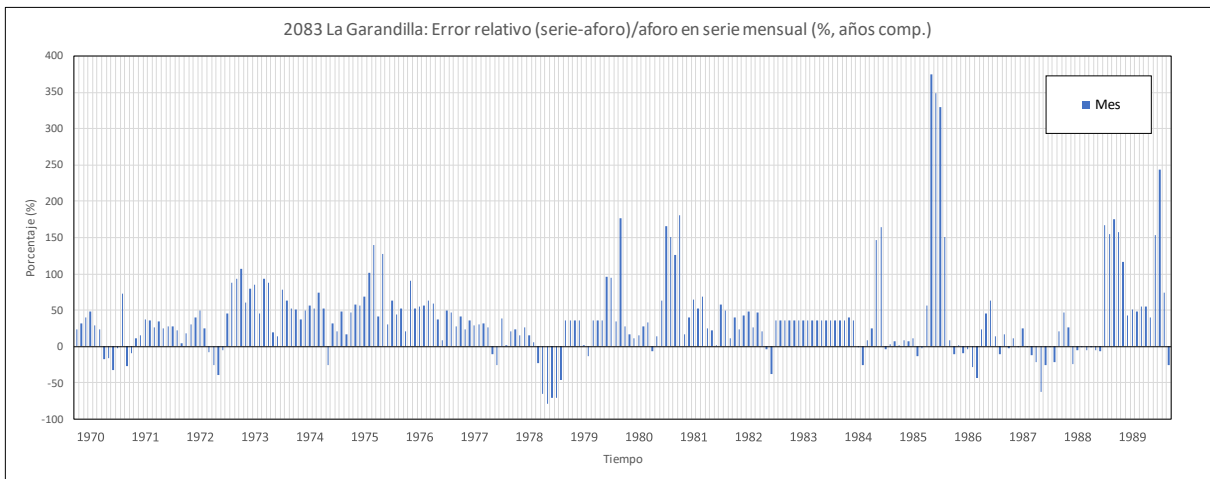
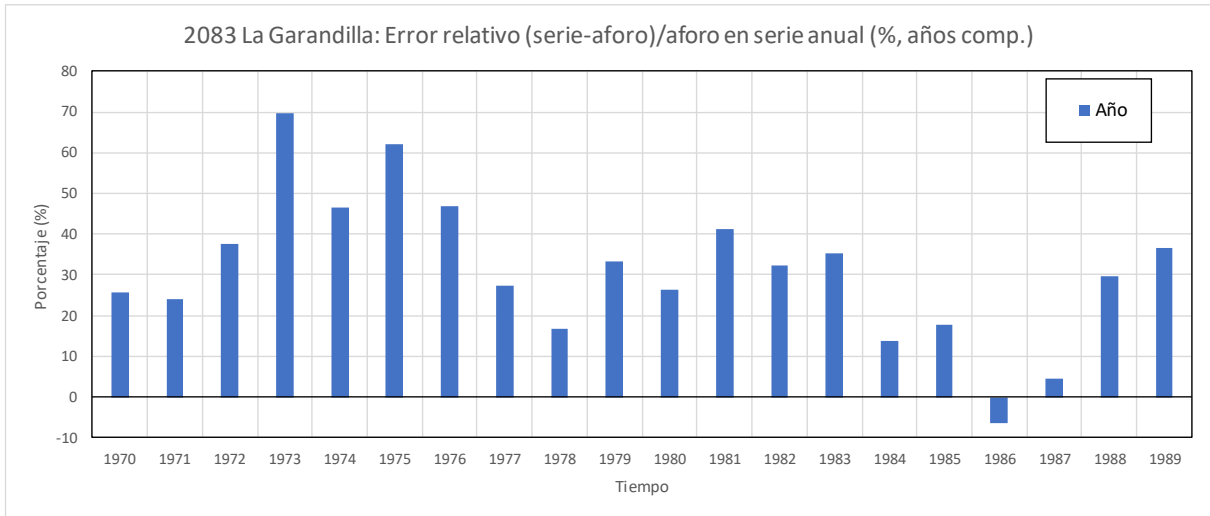
- Estación de aforo EA 2060 Cebrones del Río



- Estación de aforo EA 2076 Las Omañas

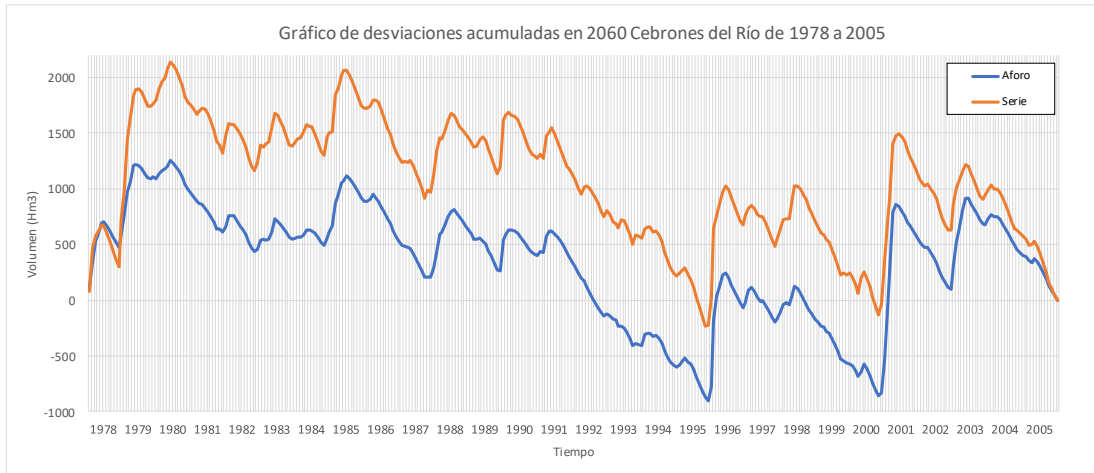


- Estación de aforo EA 2083 La Garandilla

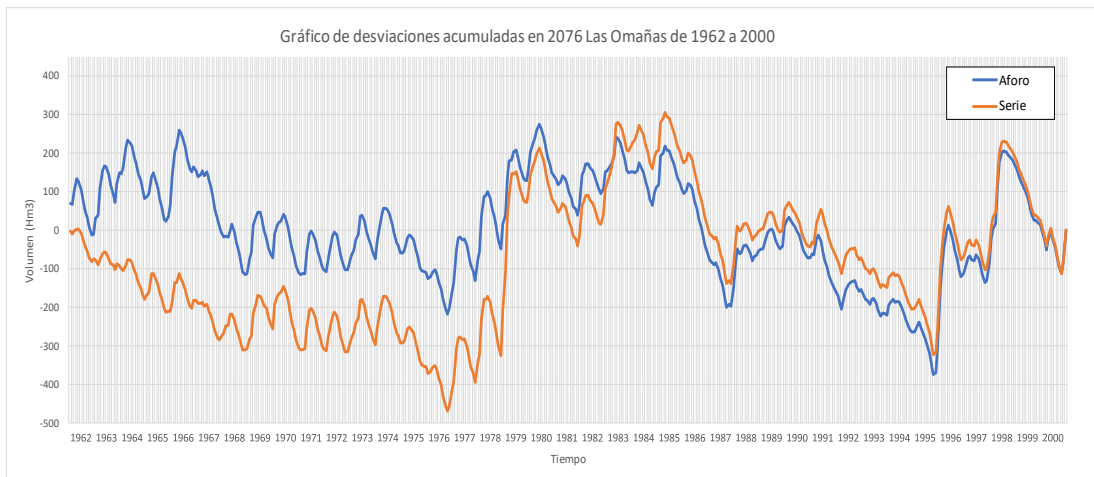


Anexo 4. Gráficos de desviaciones acumuladas

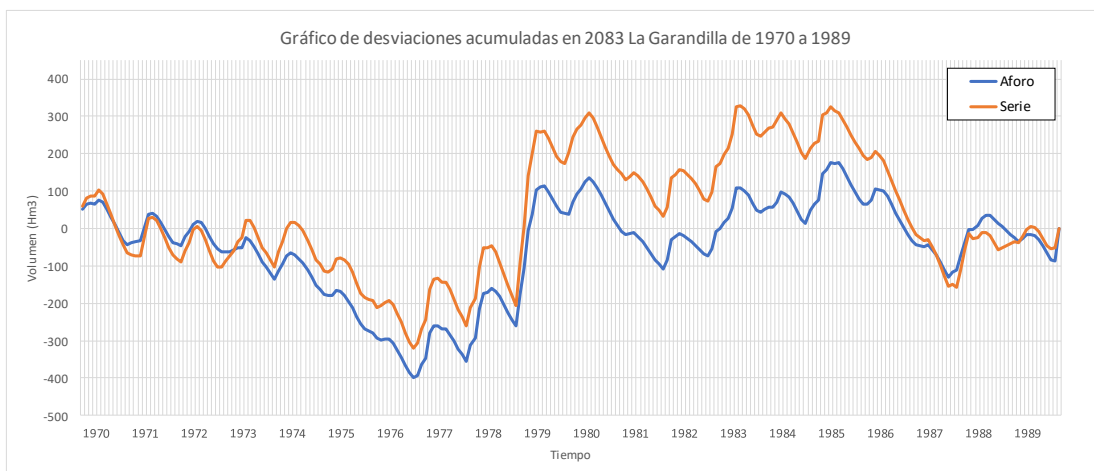
- Estación de aforo EA 2060 Cebrones del Río



- Estación de aforo EA 2076 Las Omañas

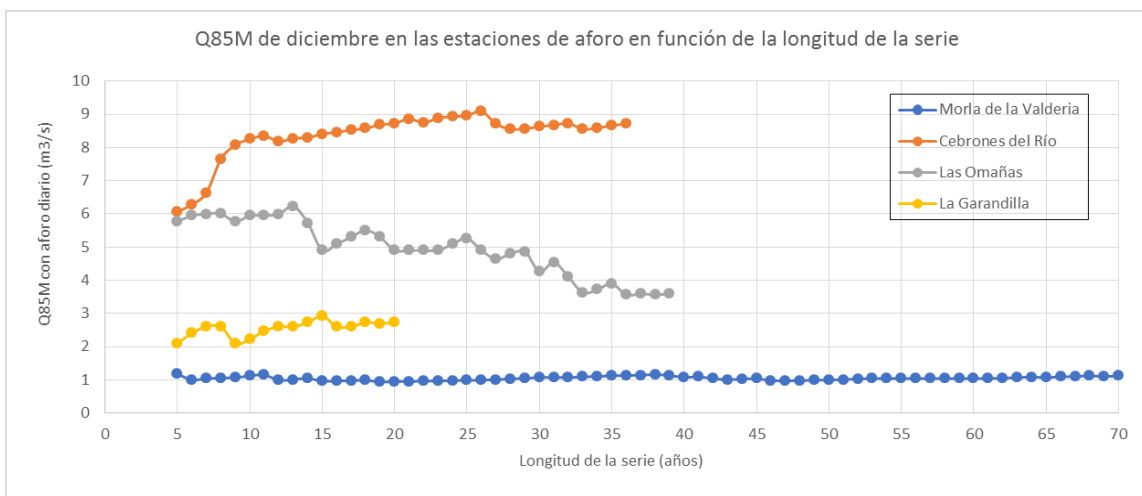
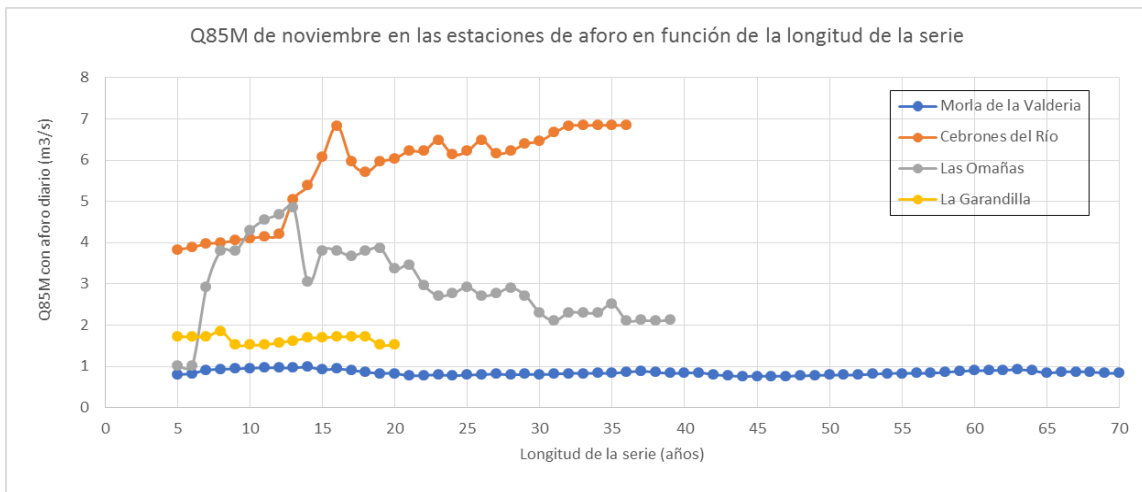
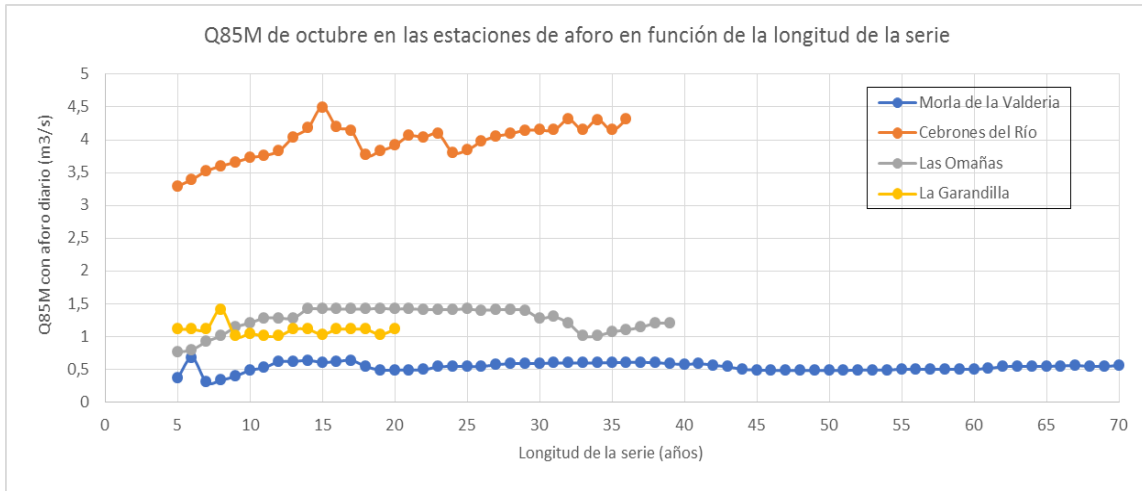


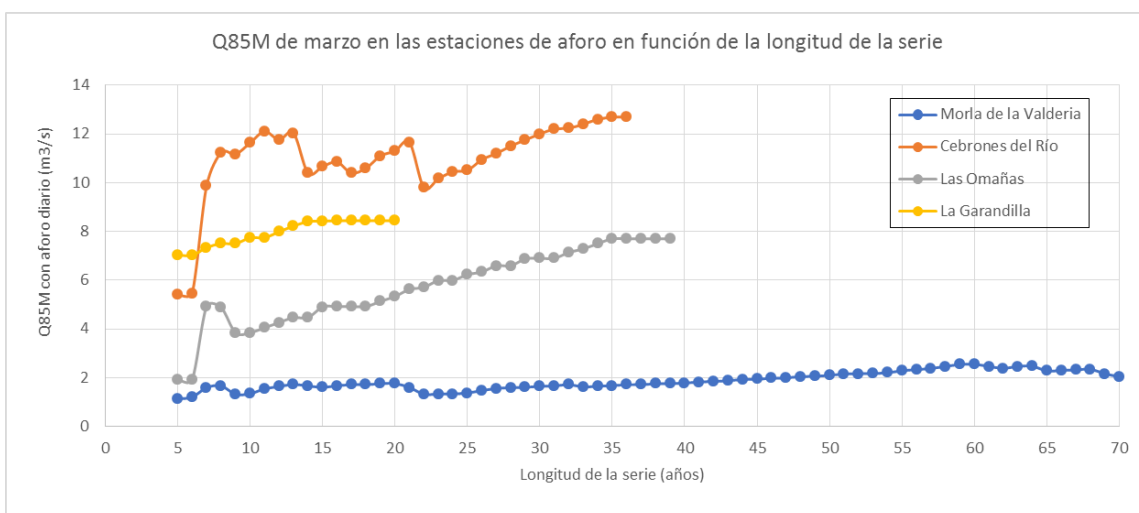
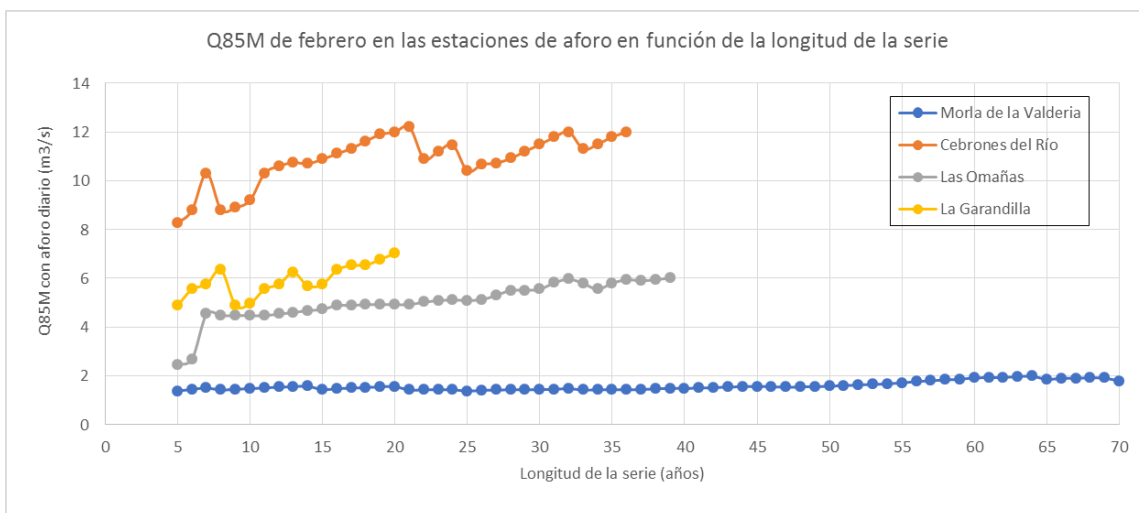
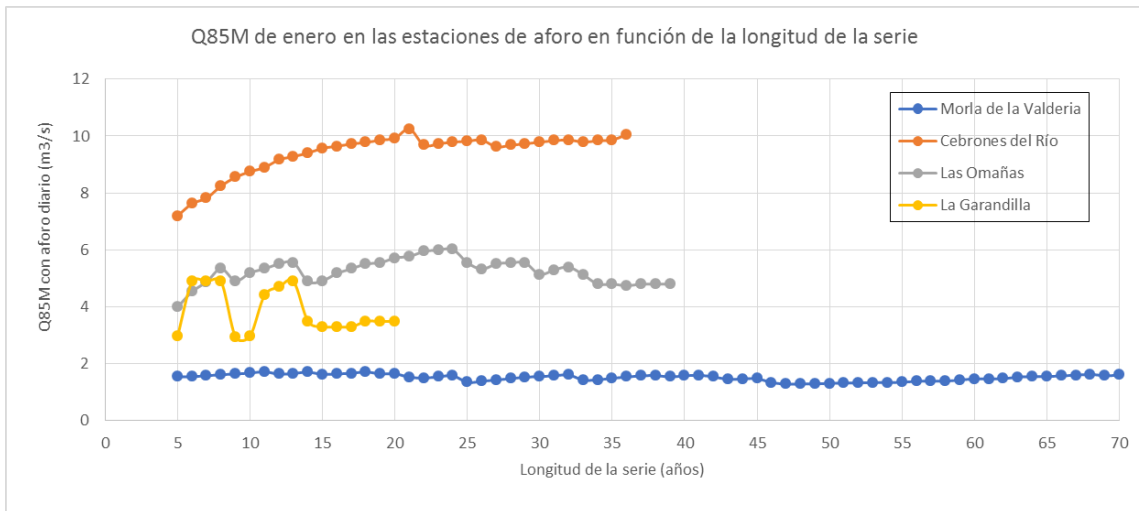
- Estación de aforo EA 2083 La Garandilla

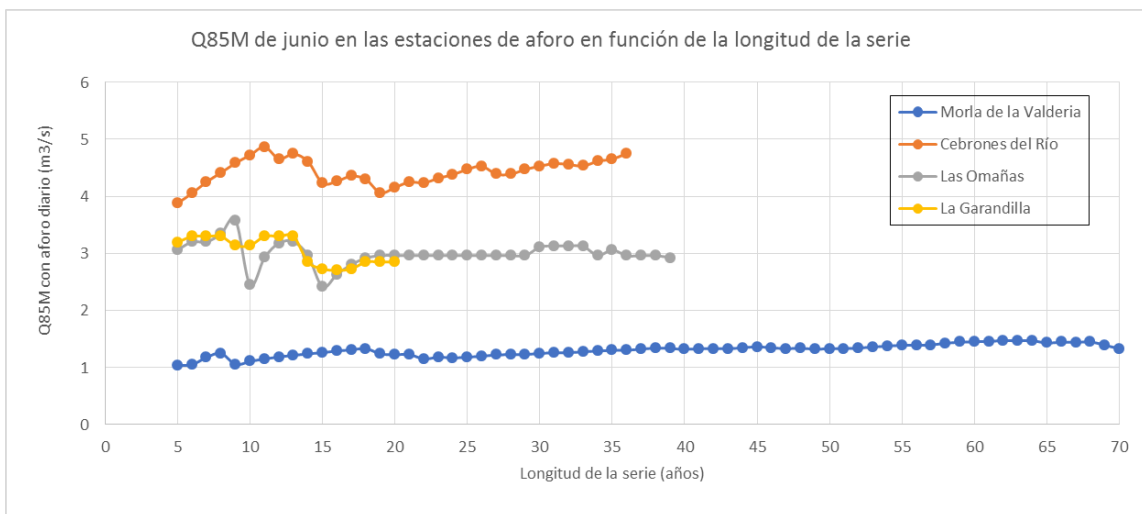
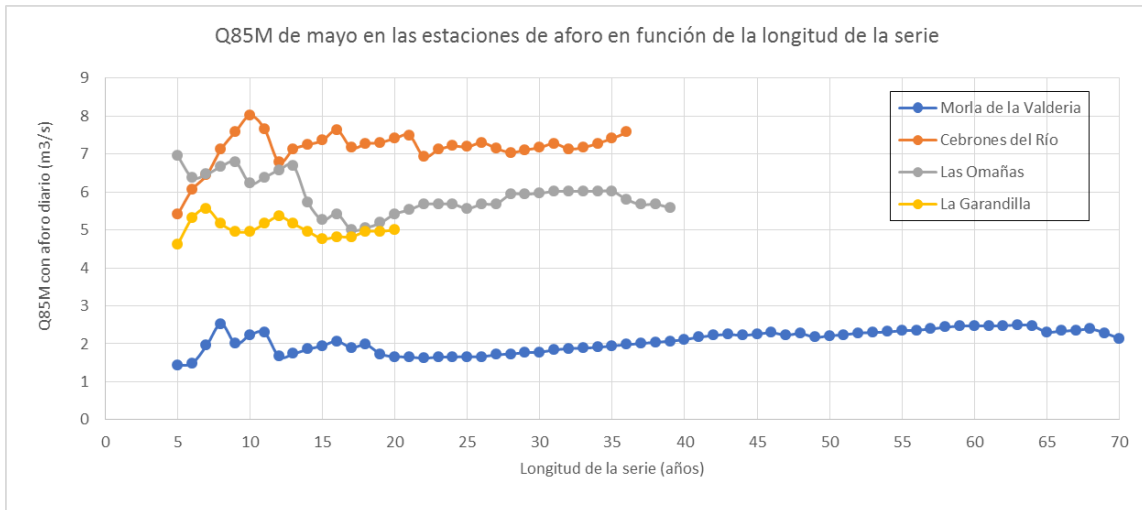
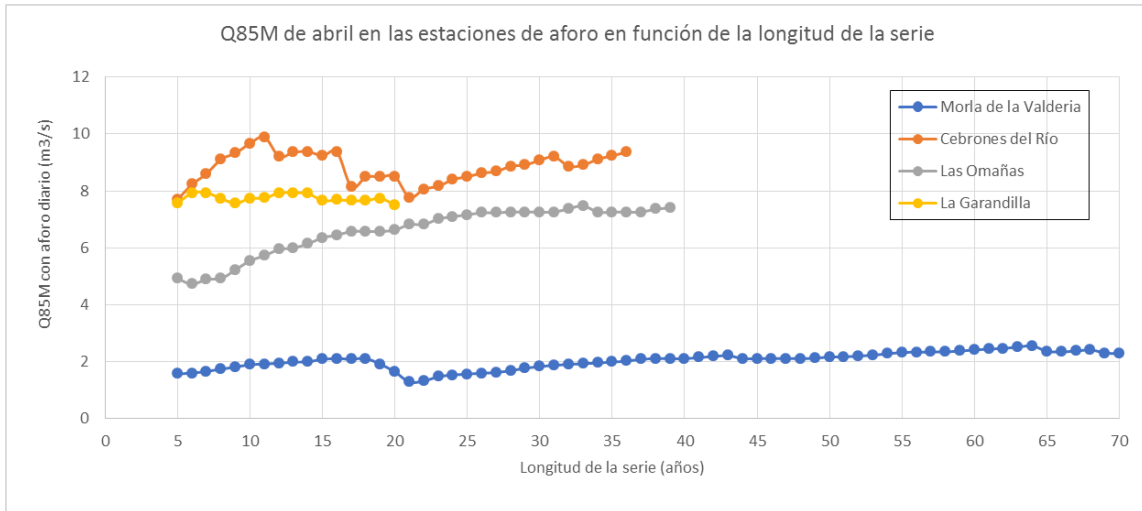


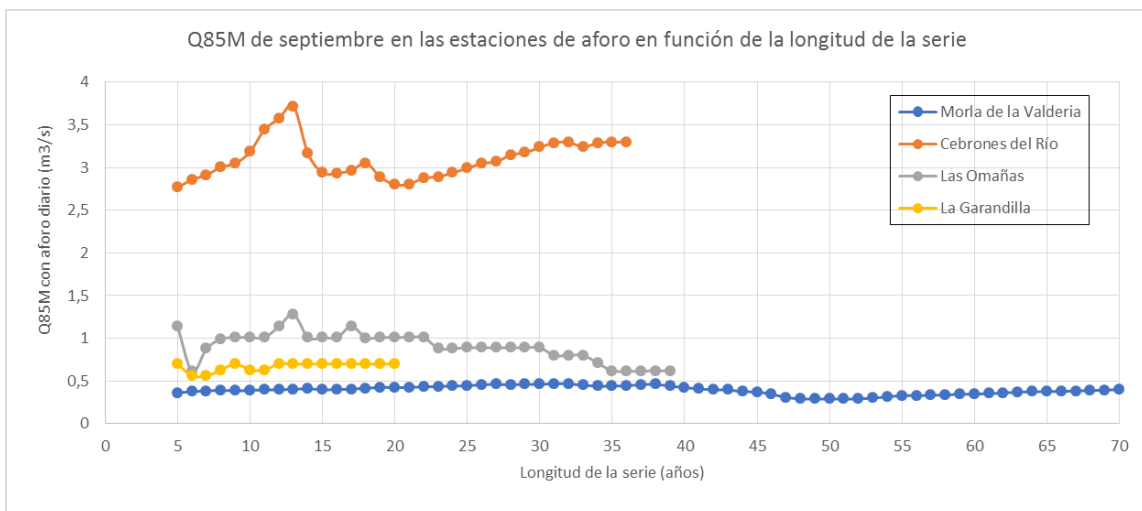
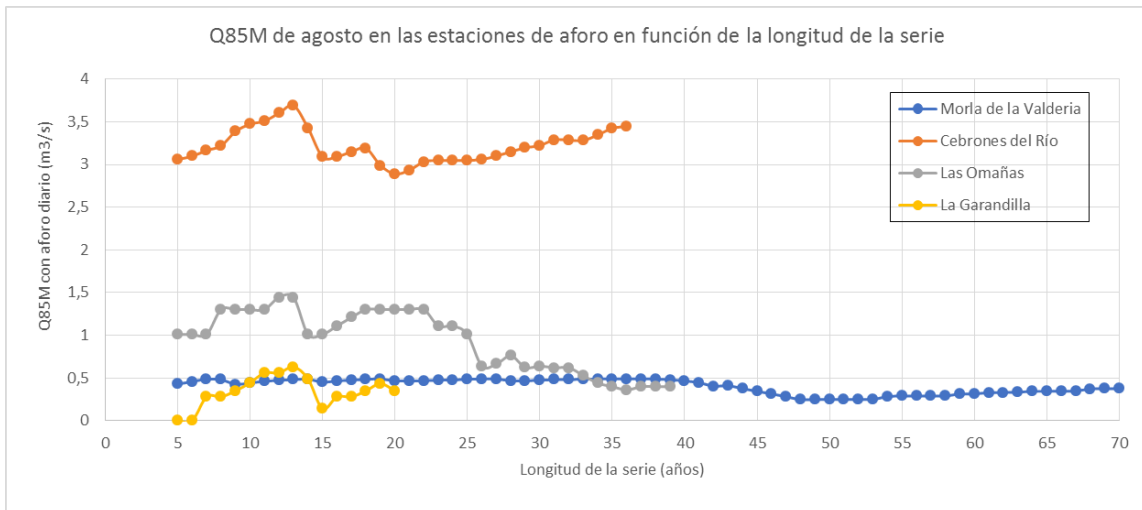
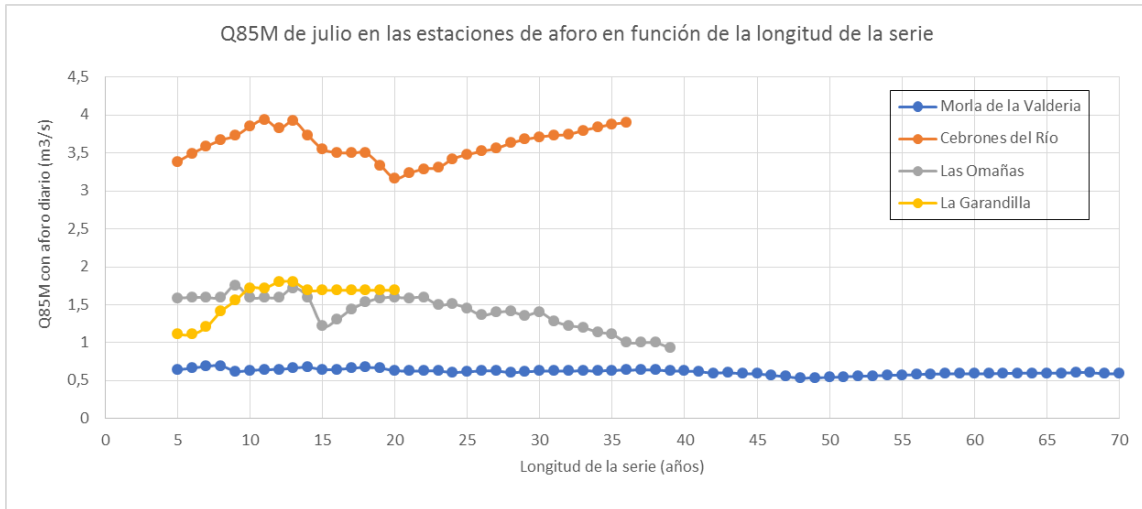
Anexo 5. Evolución del caudal ecológico por los métodos del percentil a escala mensual

- Clasificación mensual (Q85M)

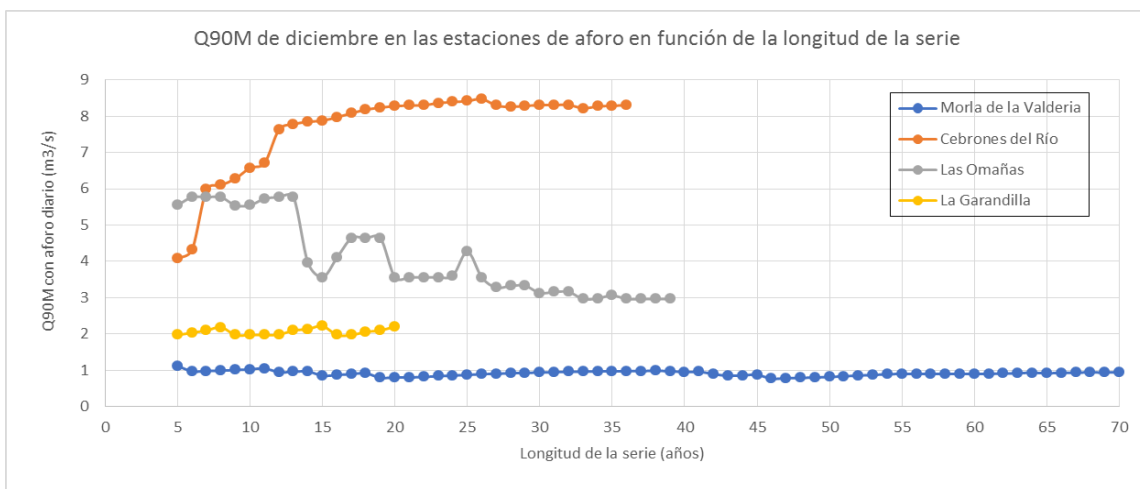
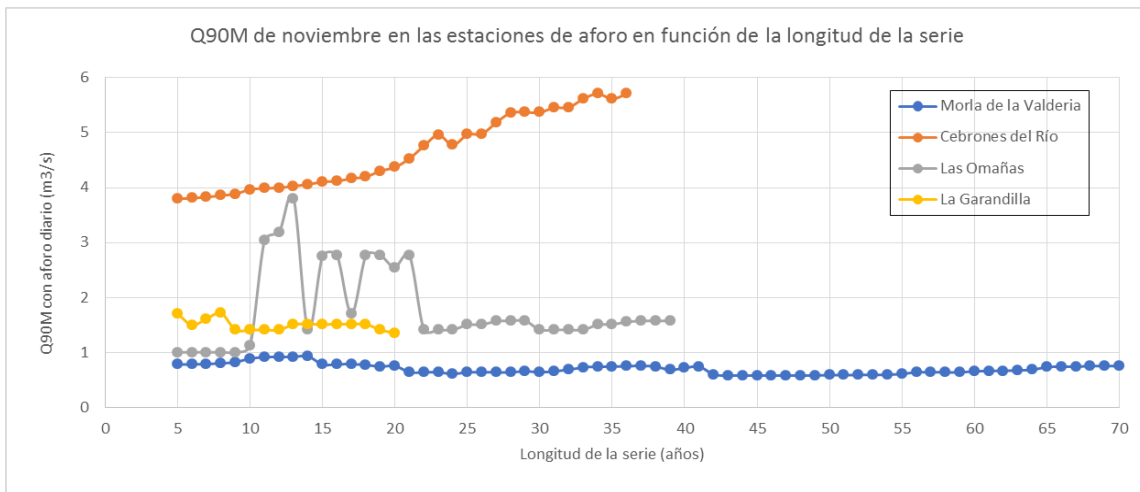
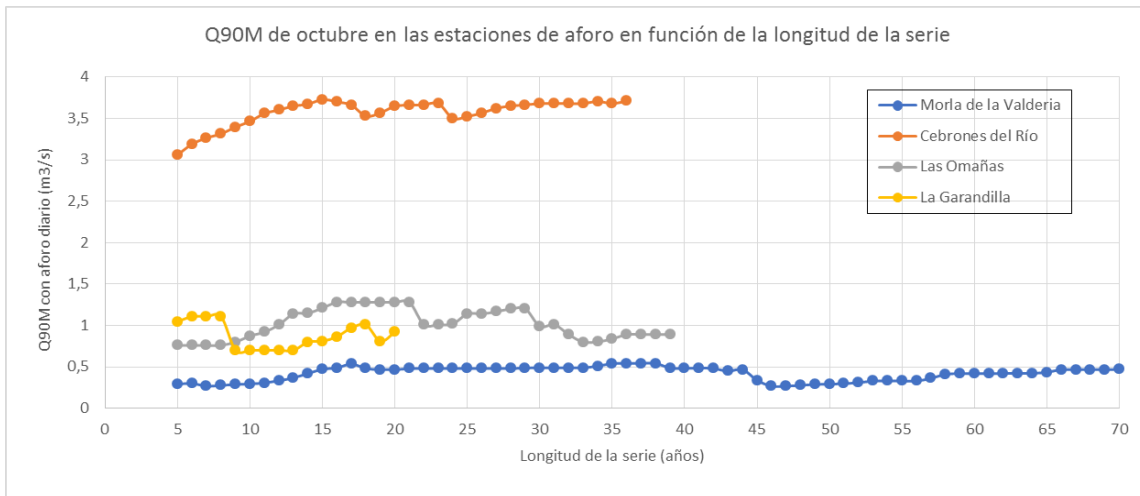


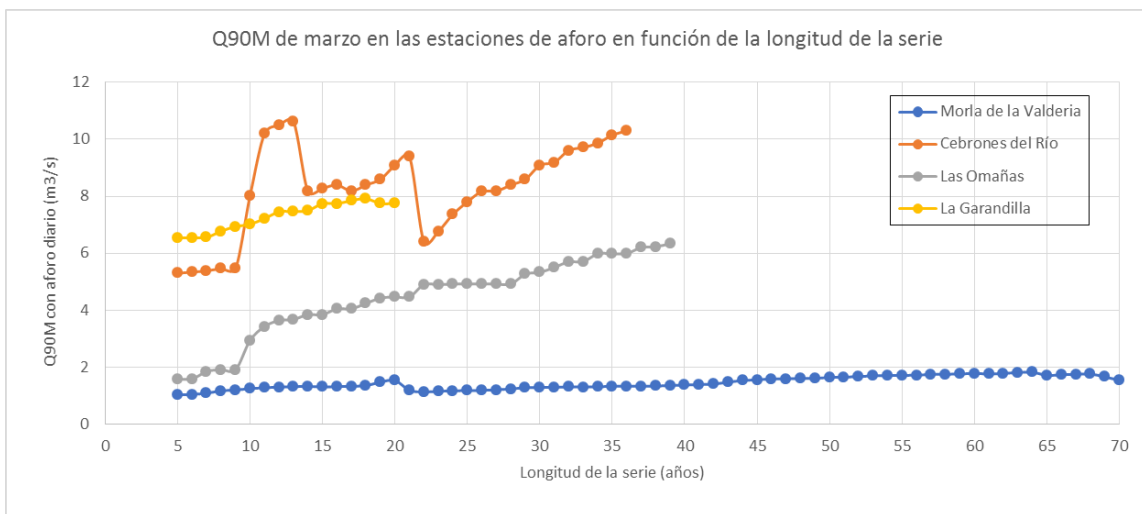
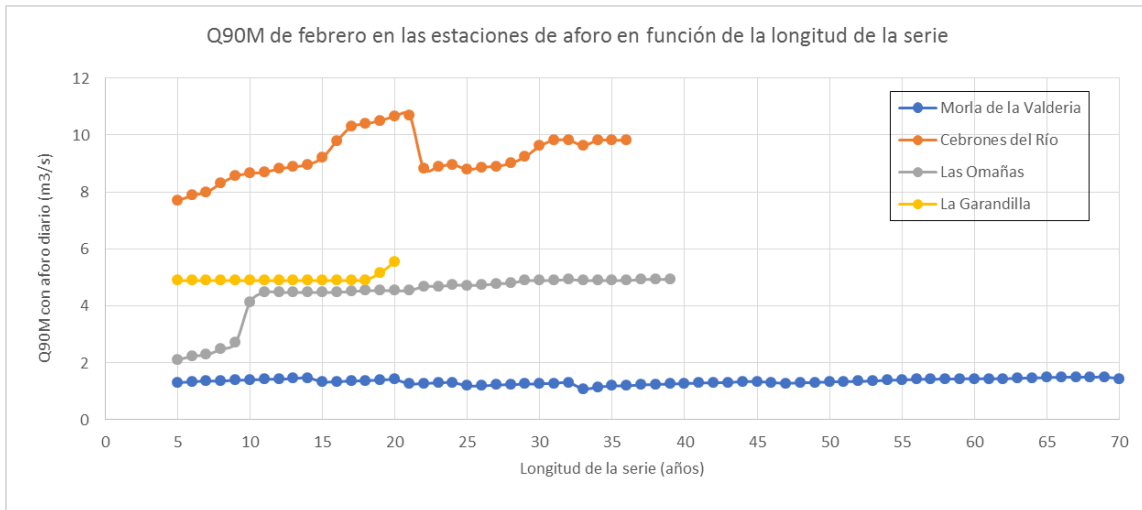
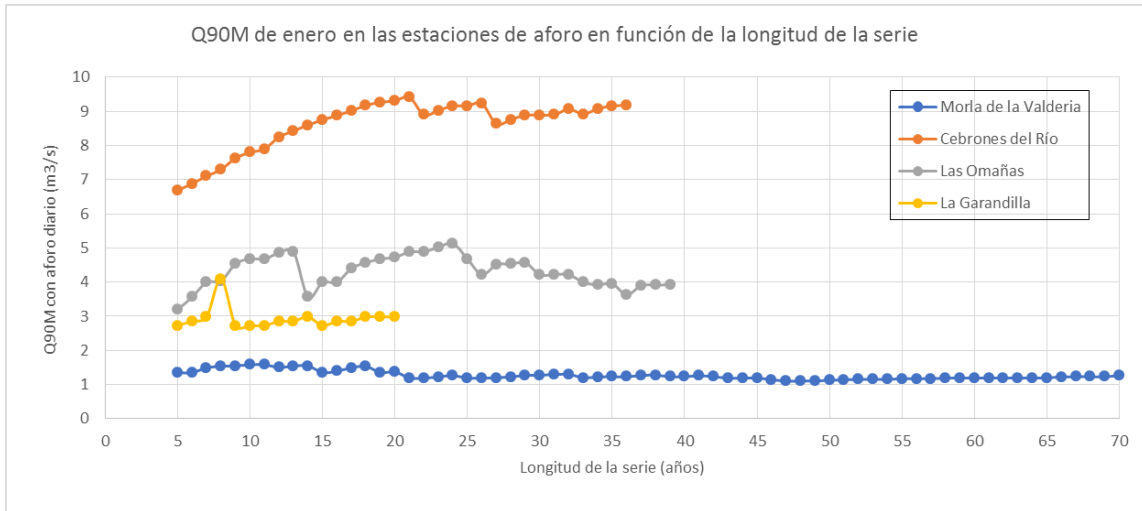


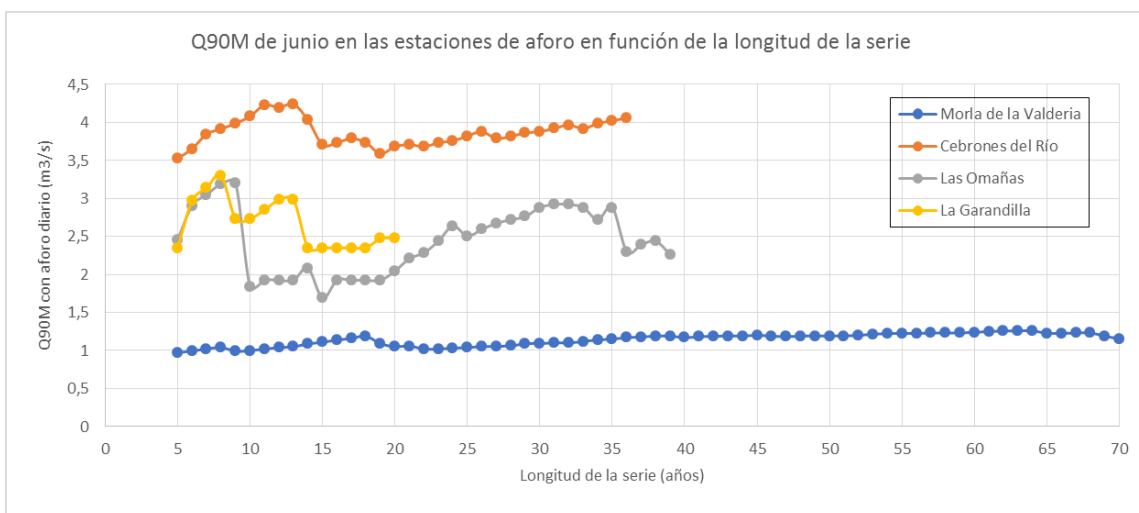
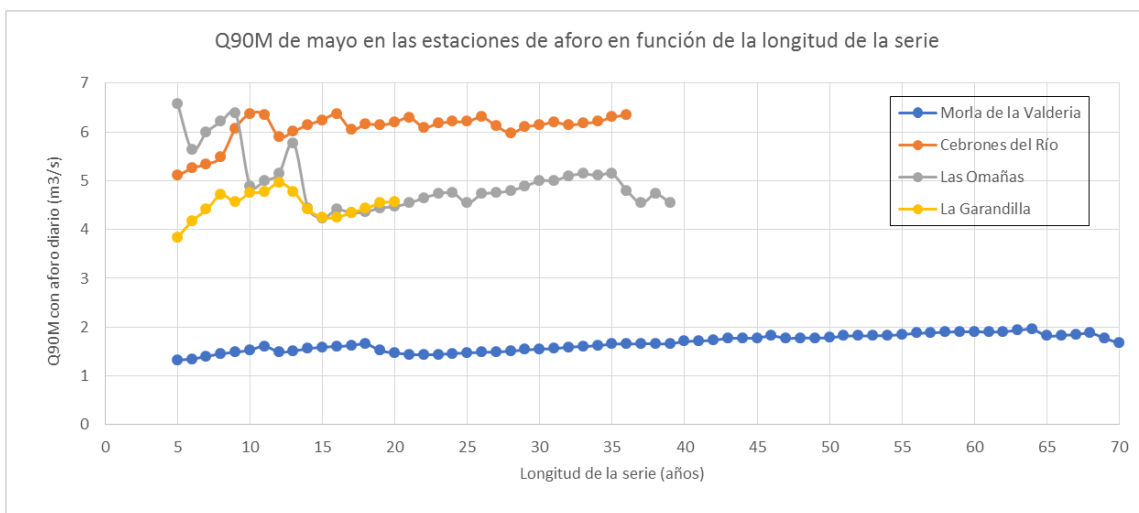
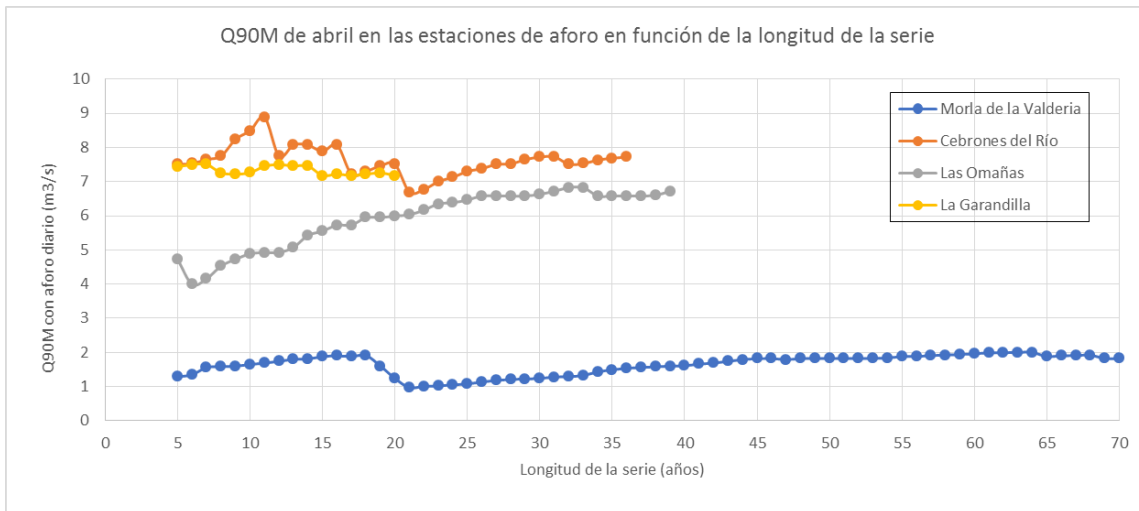


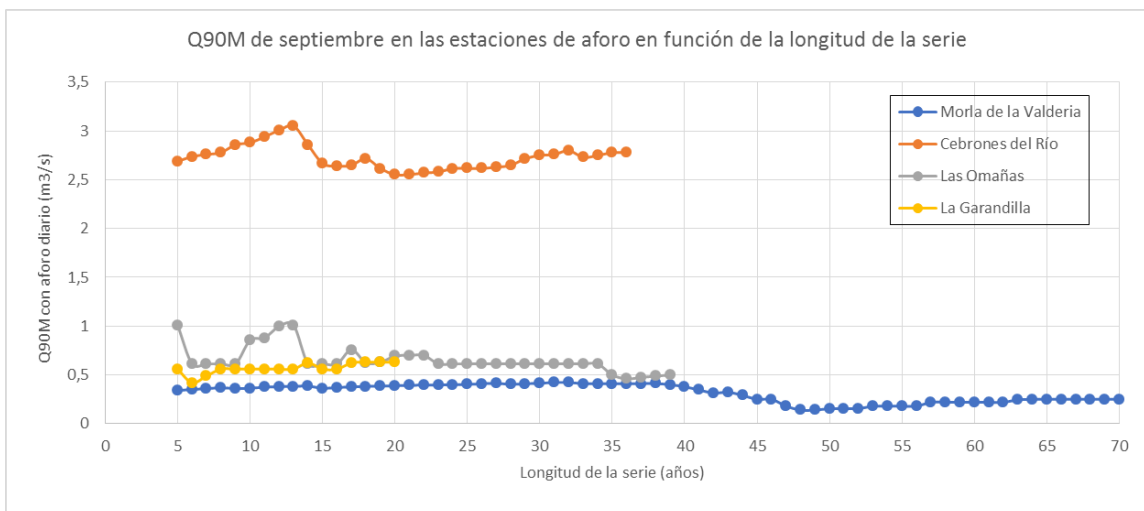
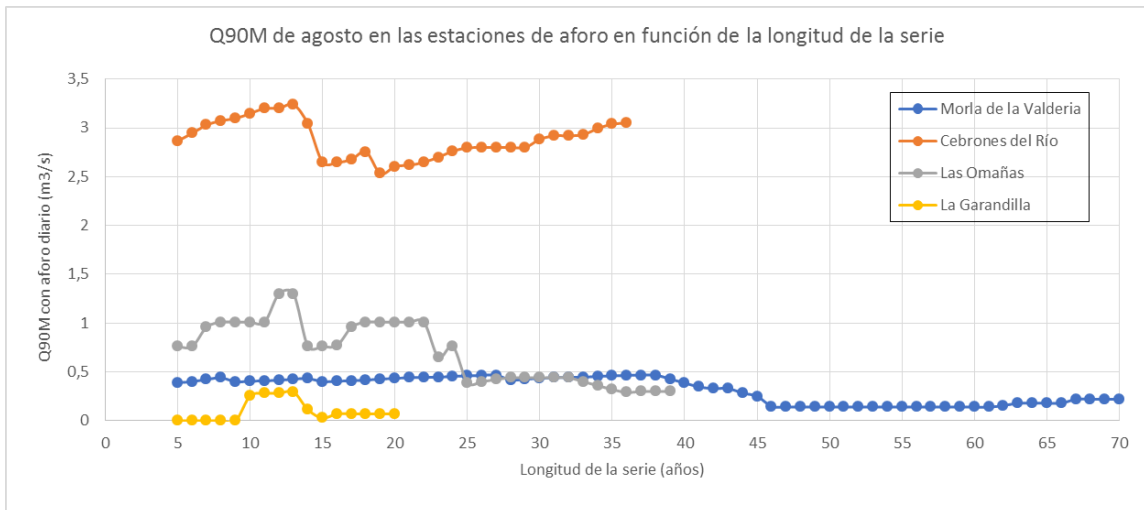
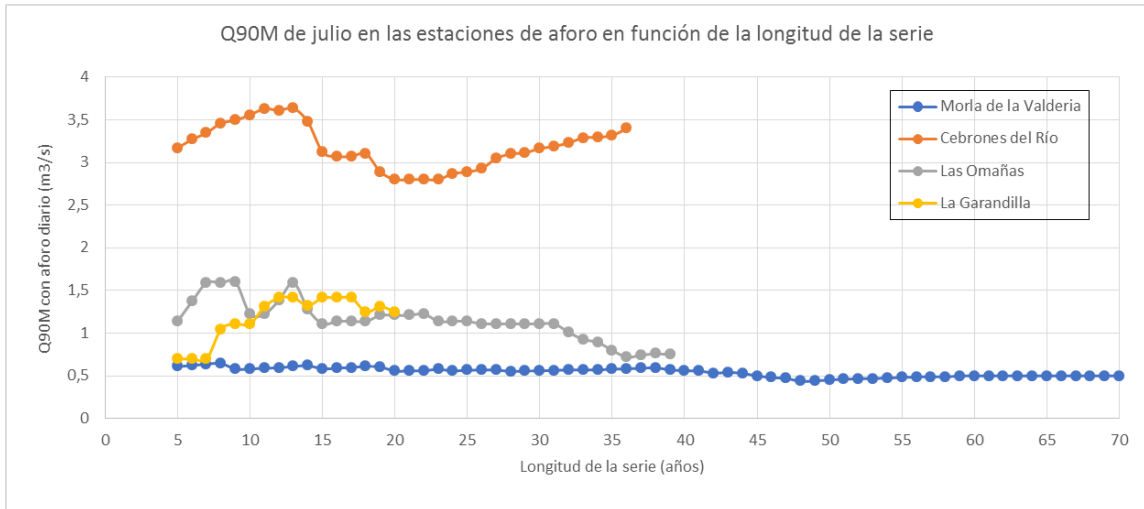


- Clasificación mensual (Q90M)

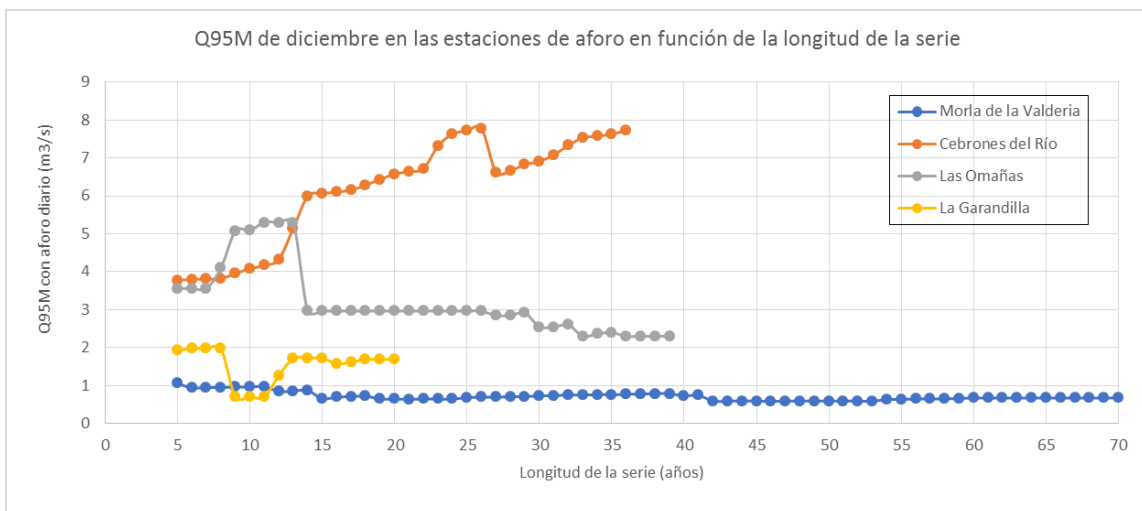
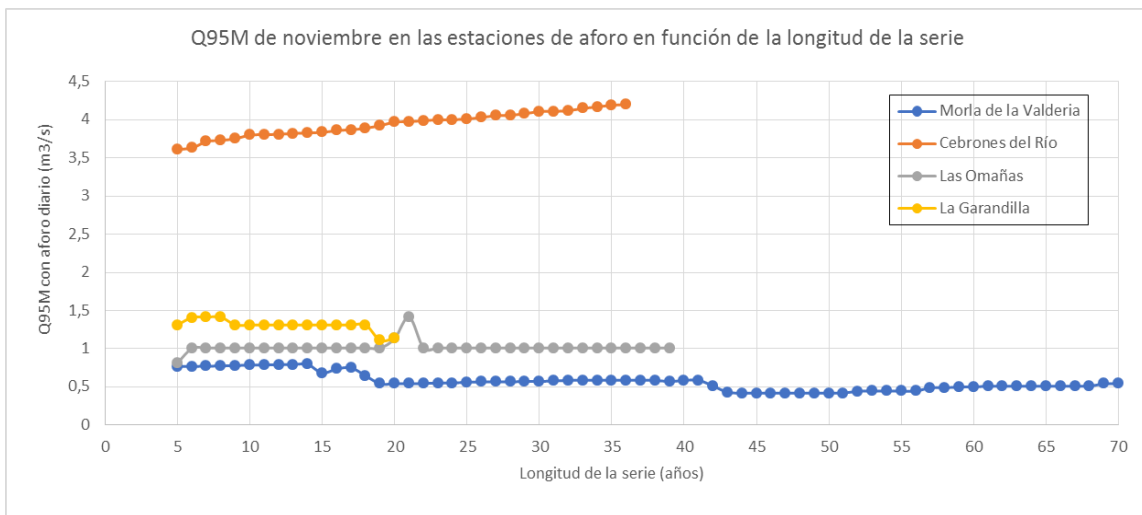
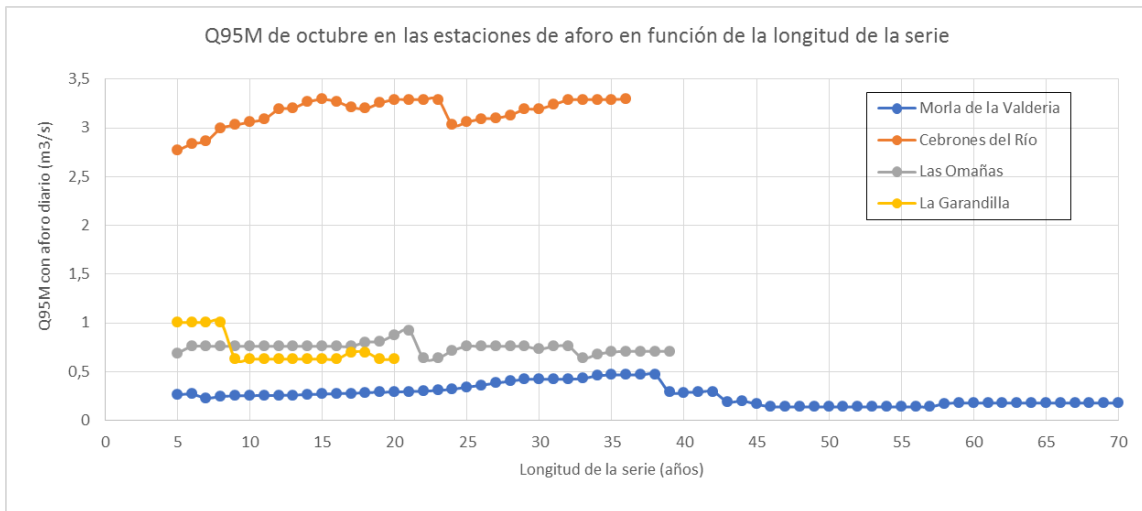


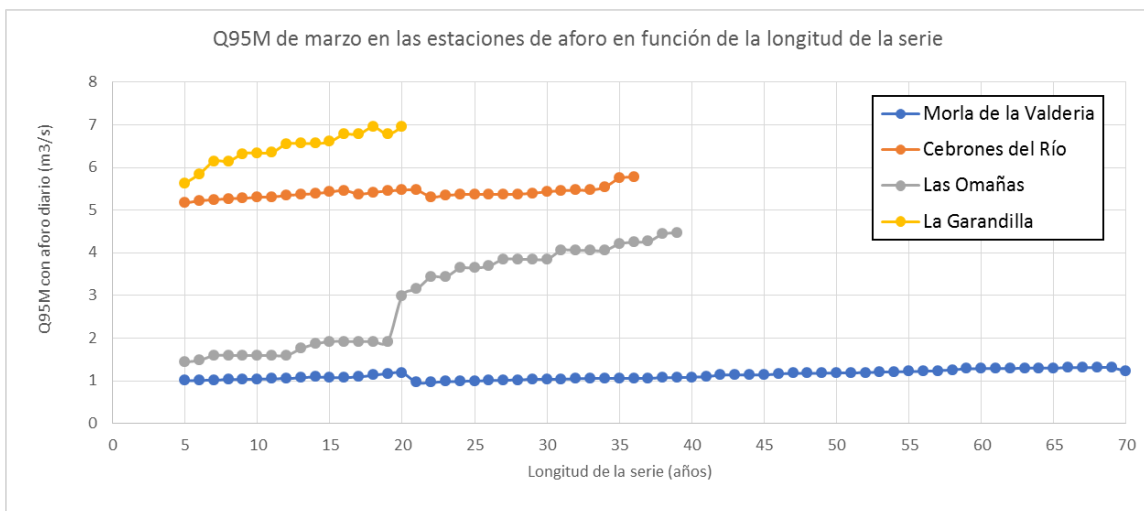
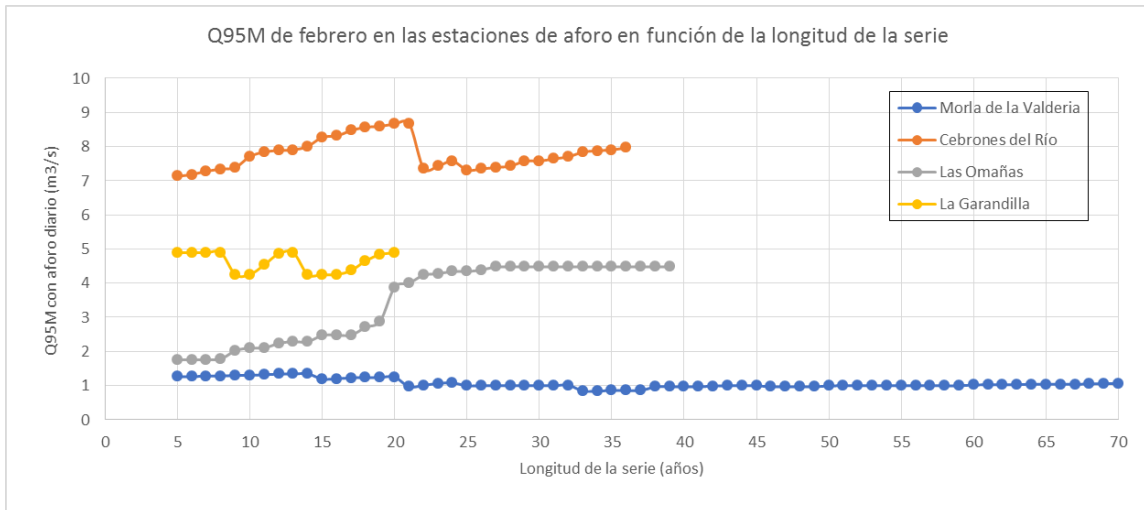
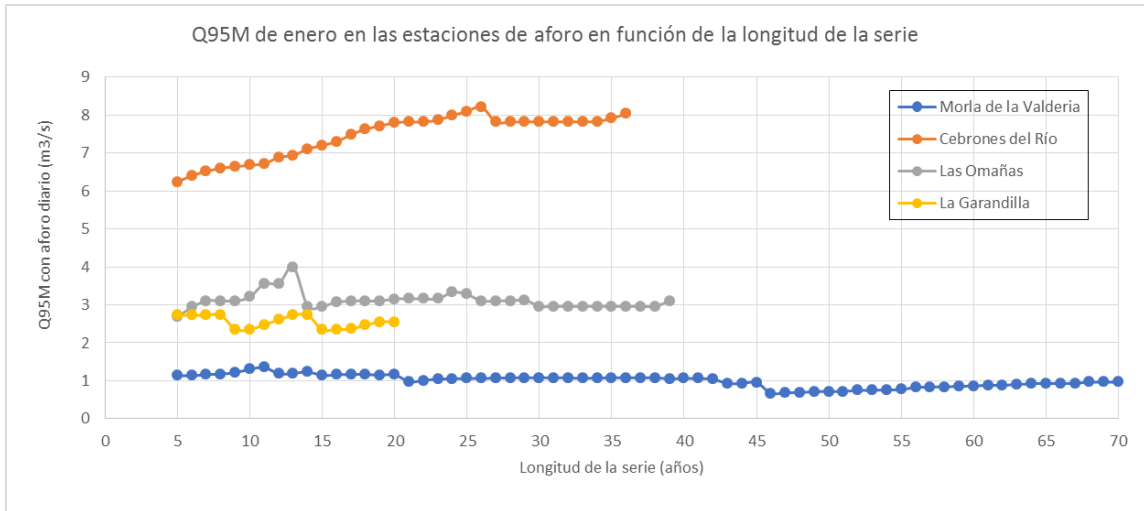


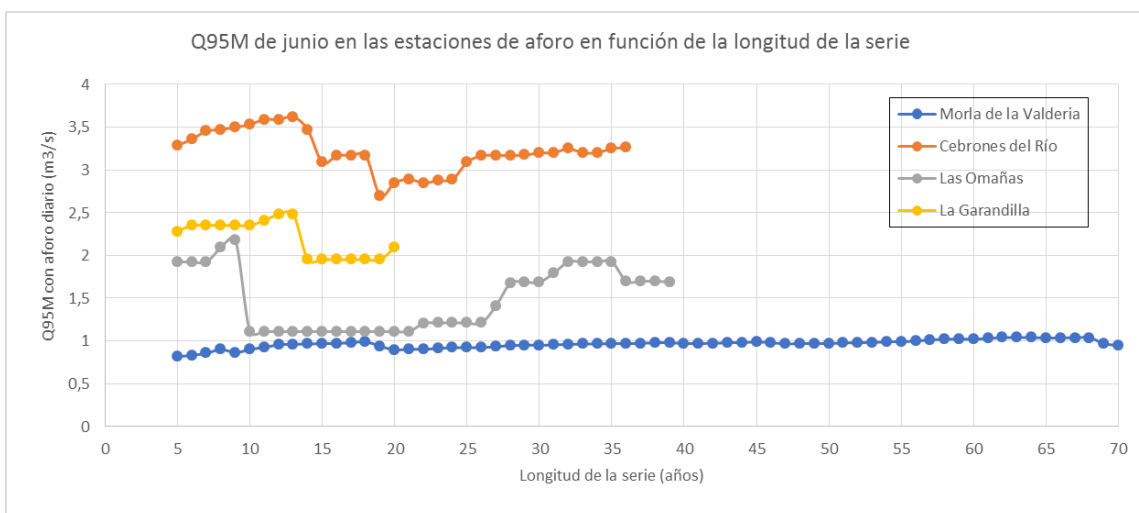
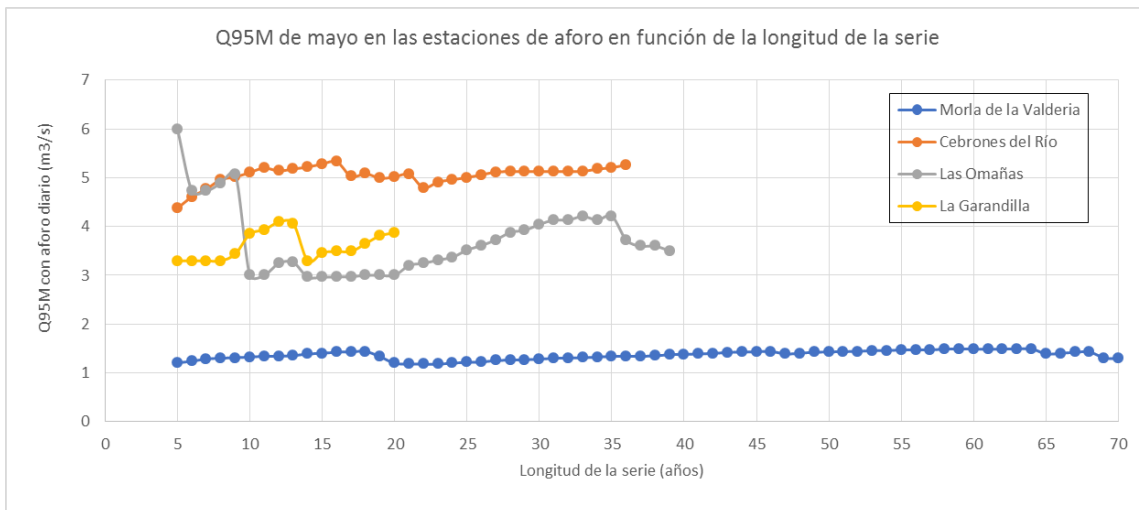
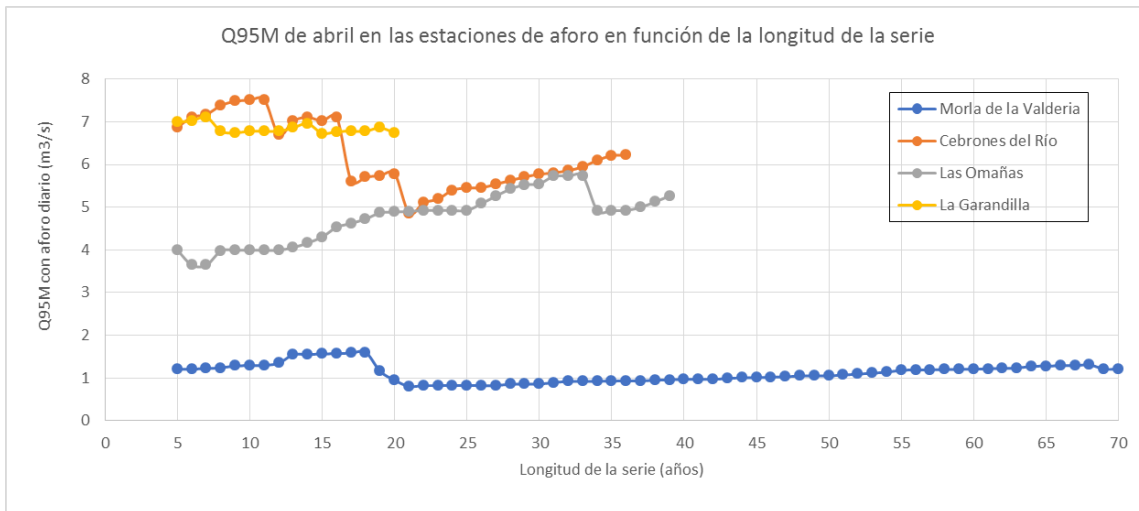


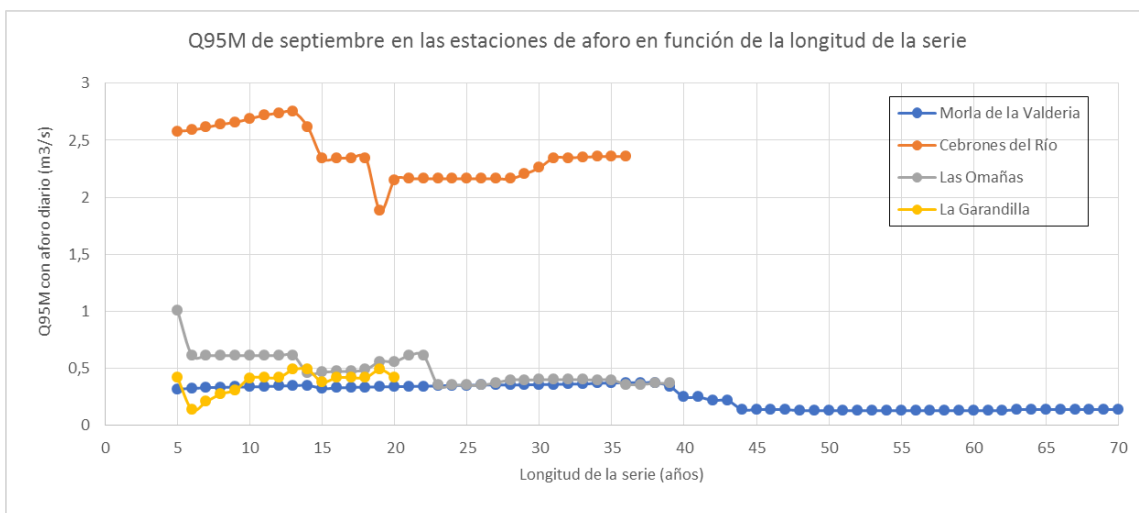
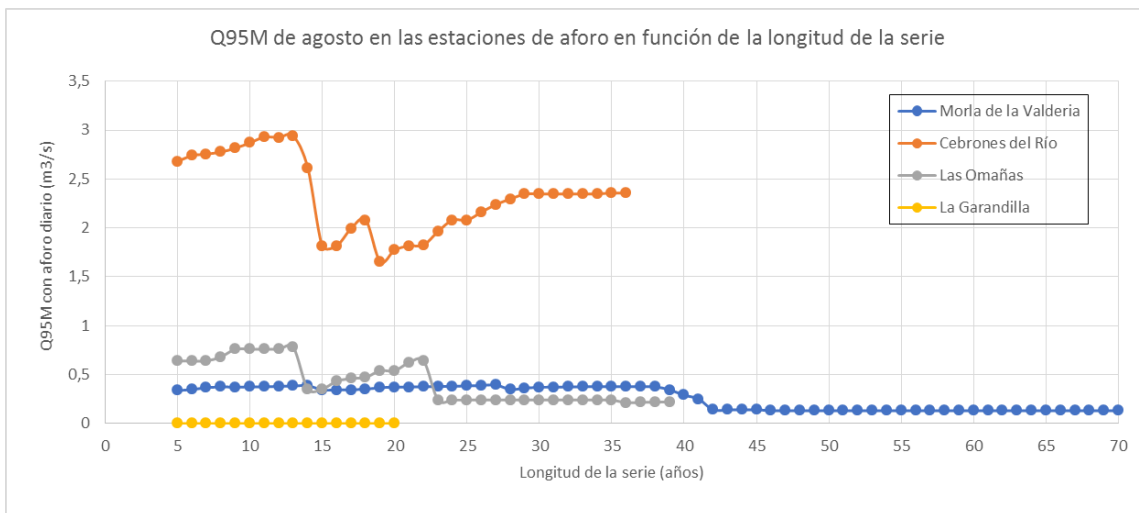
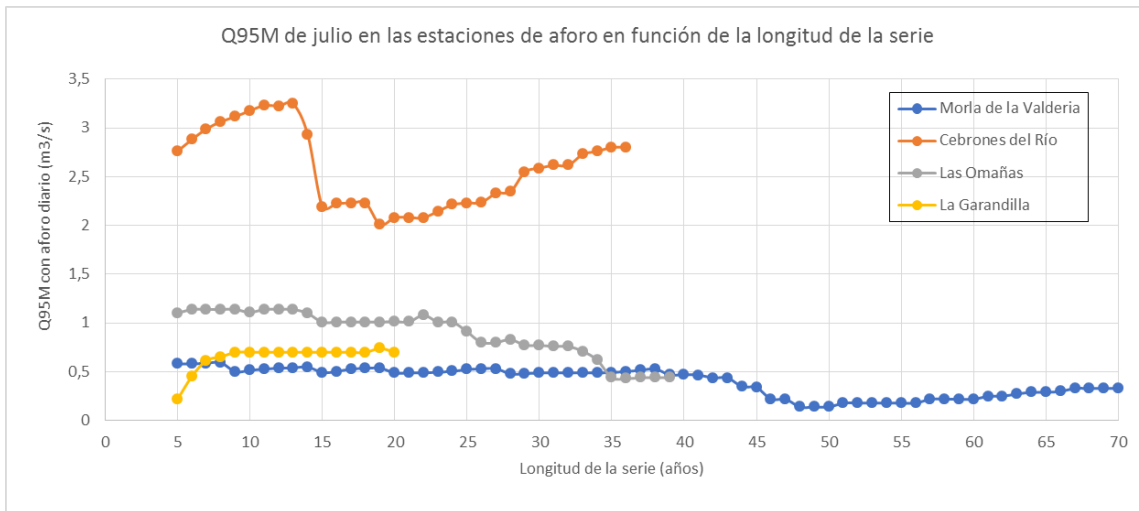


- Clasificación mensual (Q95M)



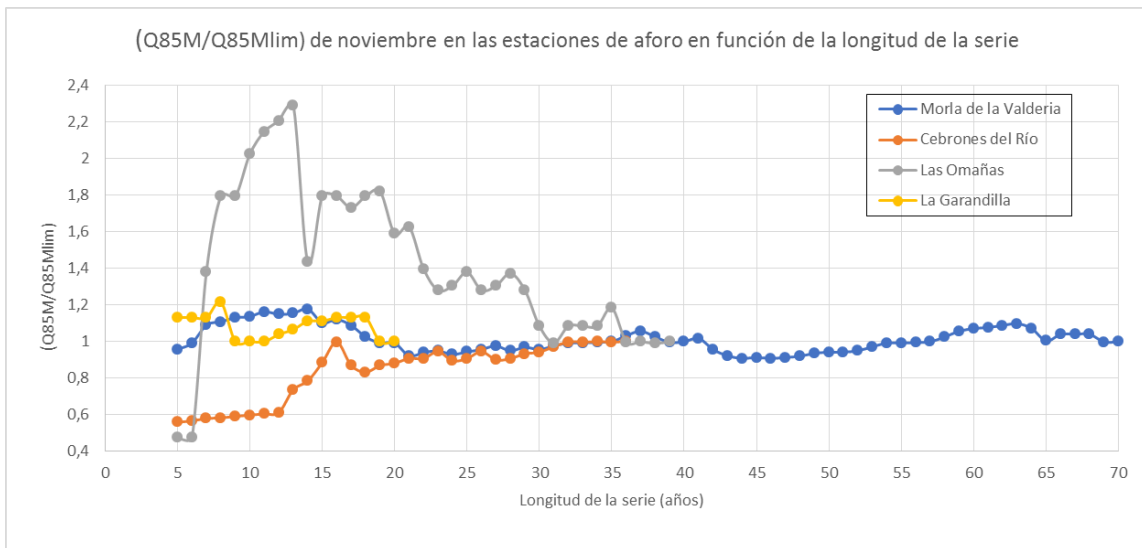
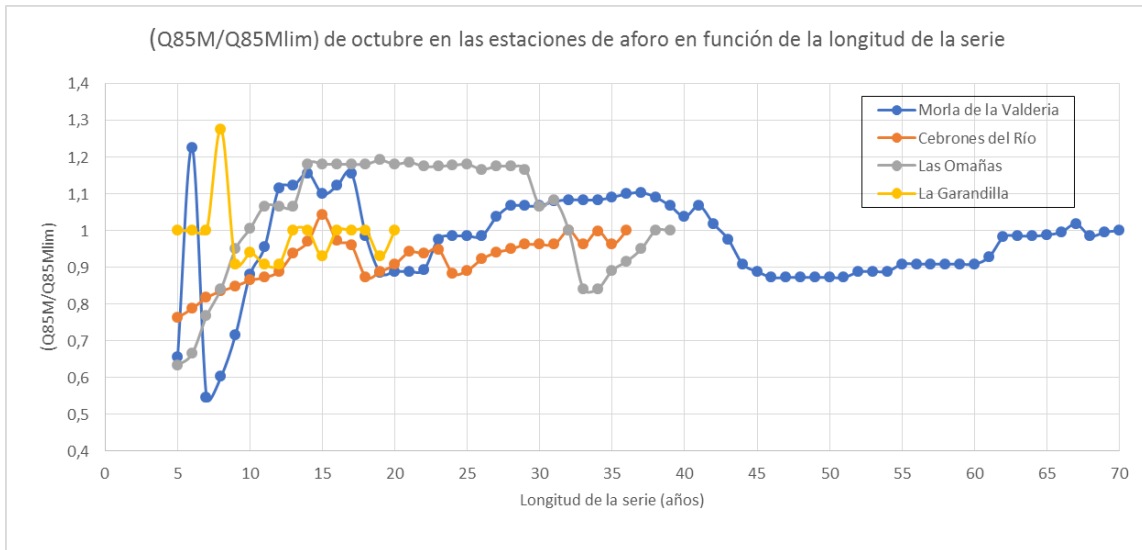




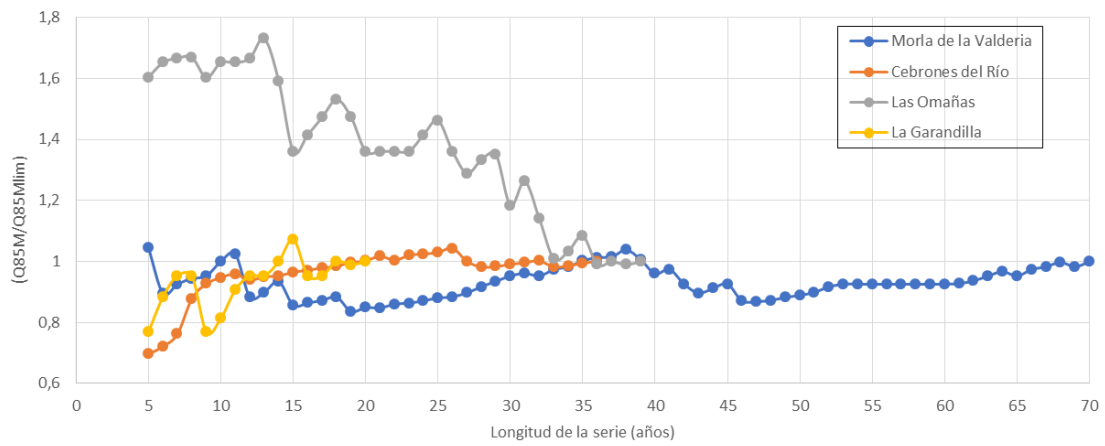


Anexo 6. Evolución del valor de (QM/QM_{lim})

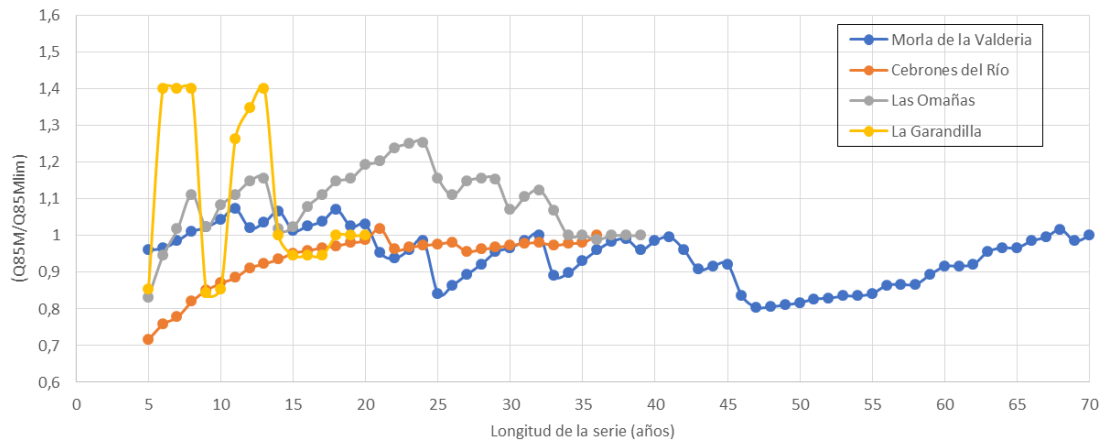
- Clasificación mensual (Q85M / Q85M_{lim})



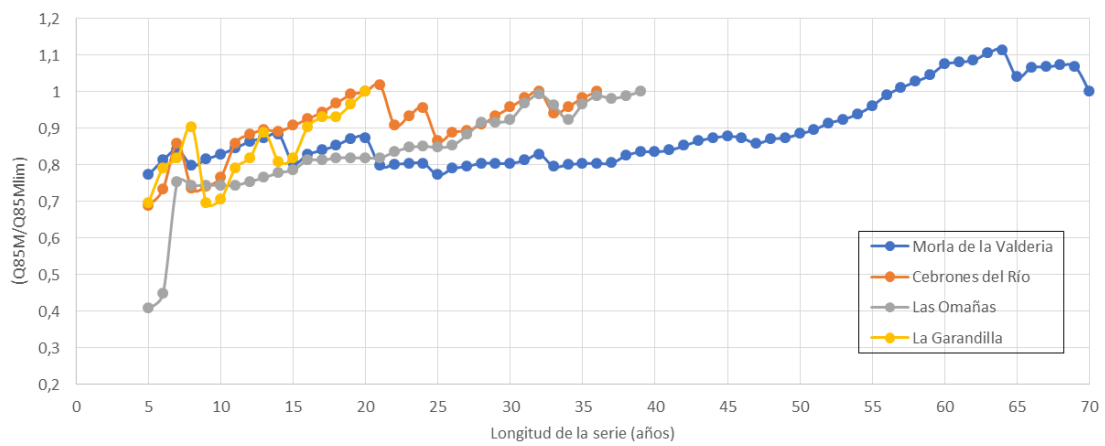
(Q85M/Q85Mlim) de diciembre en las estaciones de aforo en función de la longitud de la serie



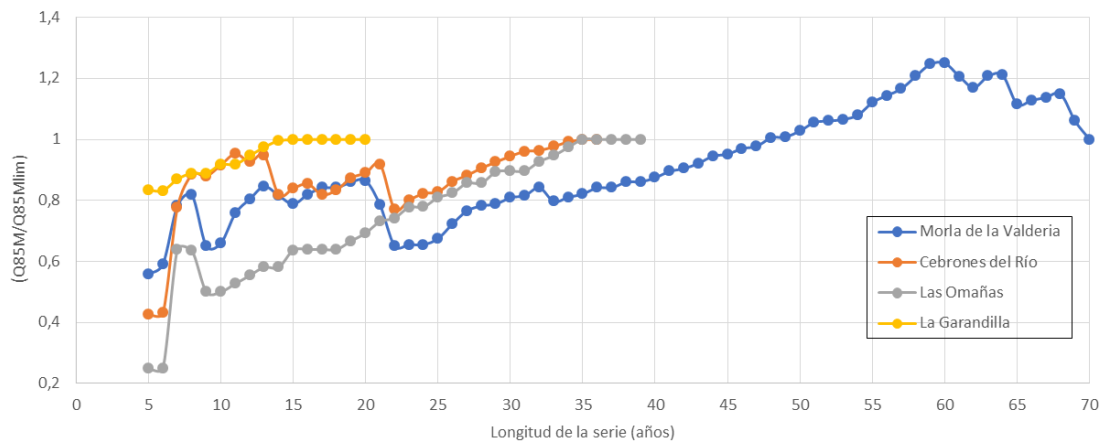
(Q85M/Q85Mlim) de enero en las estaciones de aforo en función de la longitud de la serie



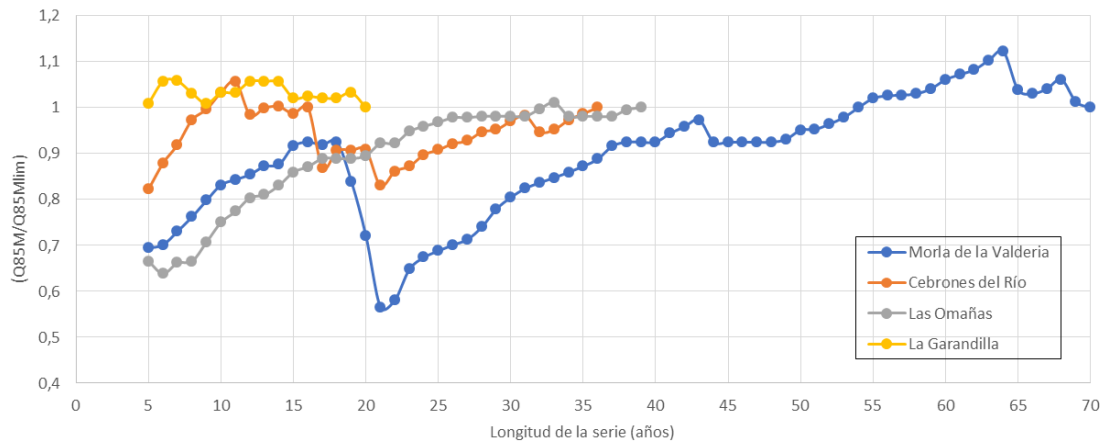
(Q85M/Q85Mlim) de febrero en las estaciones de aforo en función de la longitud de la serie



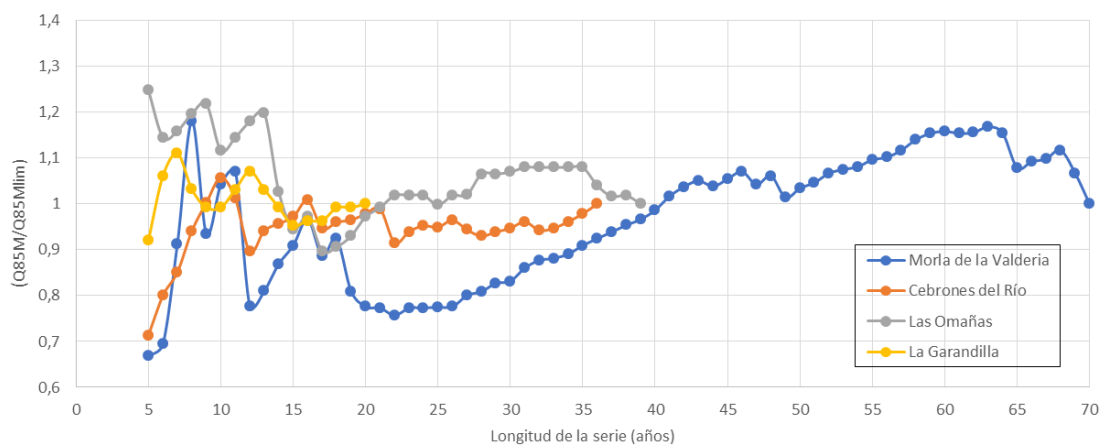
(Q85M/Q85Mlim) de marzo en las estaciones de aforo en función de la longitud de la serie

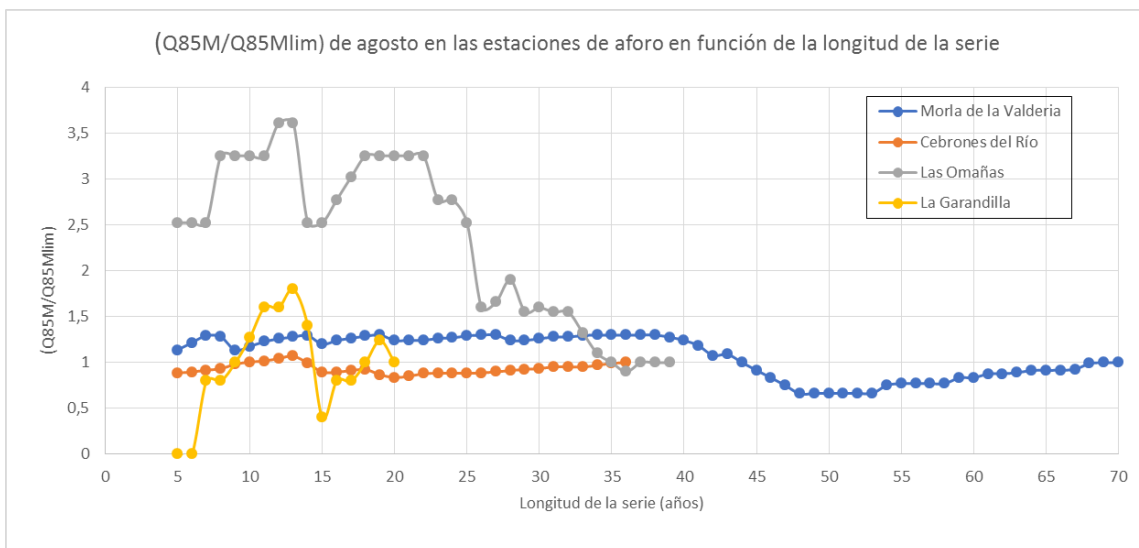
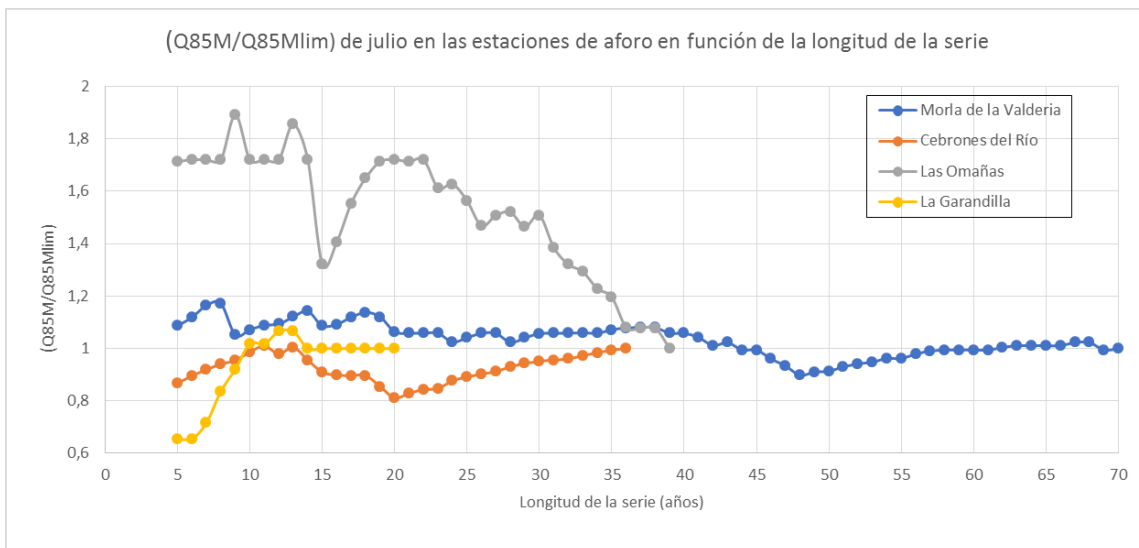
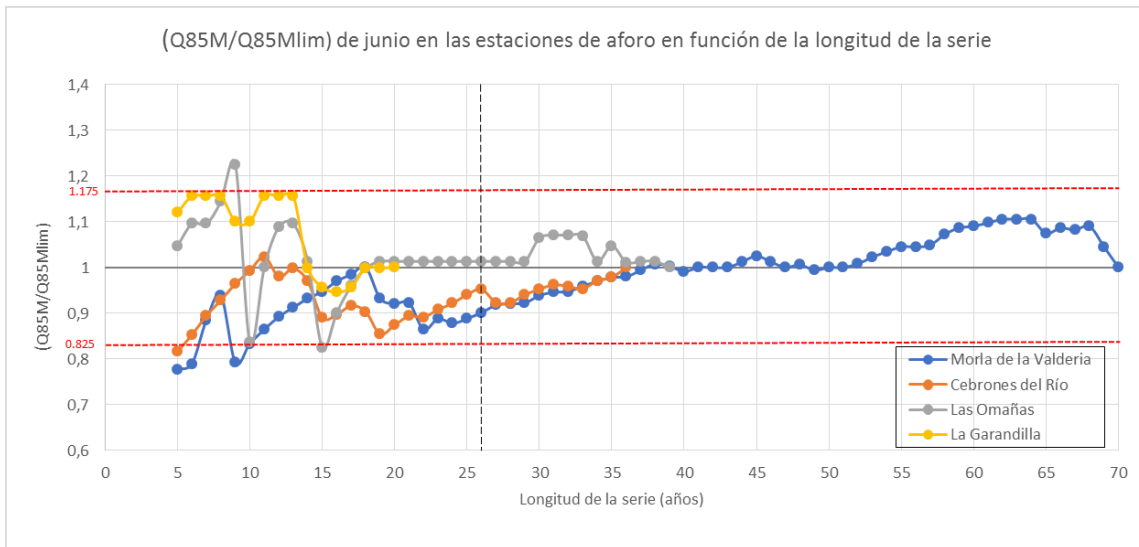


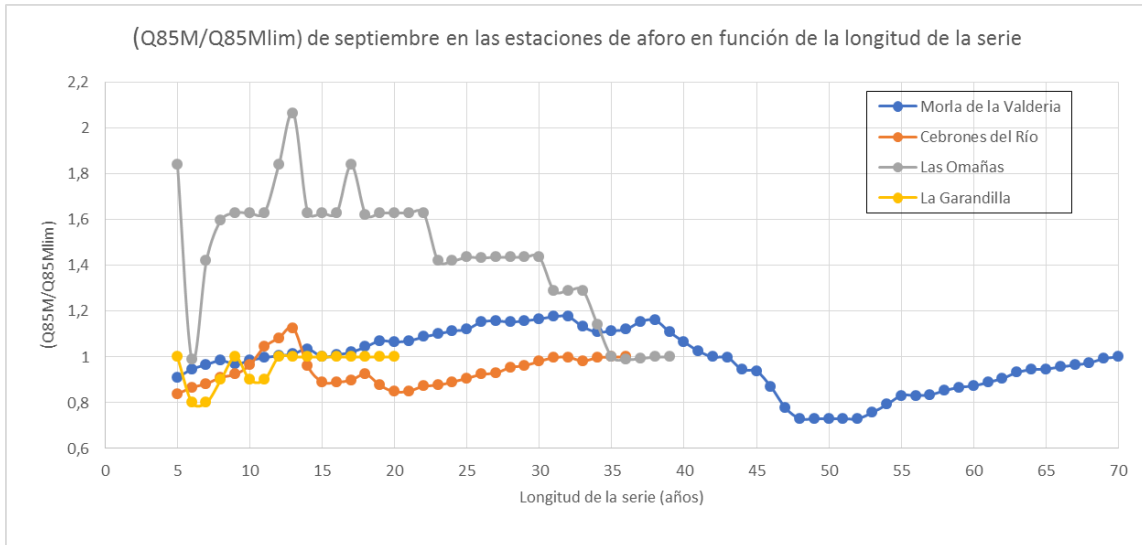
(Q85M/Q85Mlim) de abril en las estaciones de aforo en función de la longitud de la serie



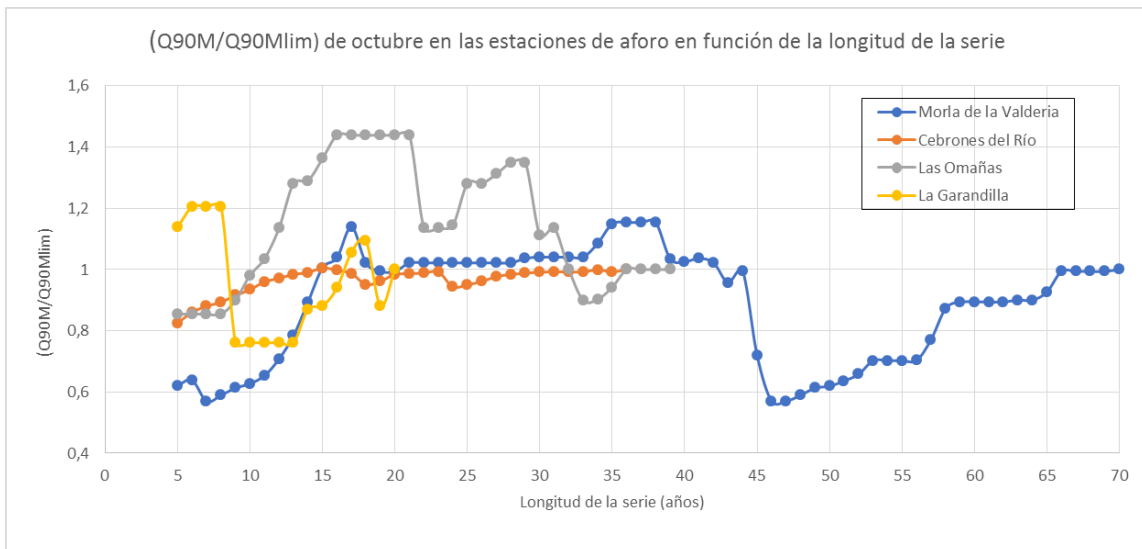
(Q85M/Q85Mlim) de mayo en las estaciones de aforo en función de la longitud de la serie



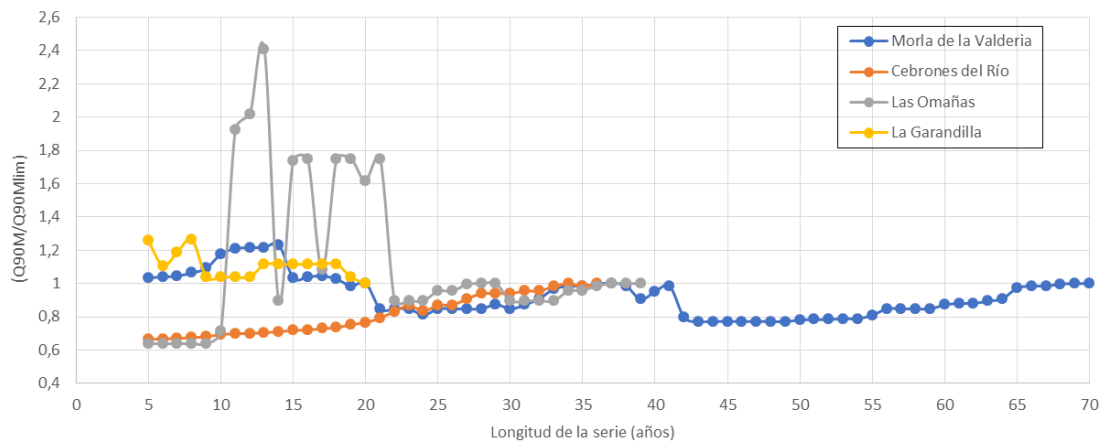




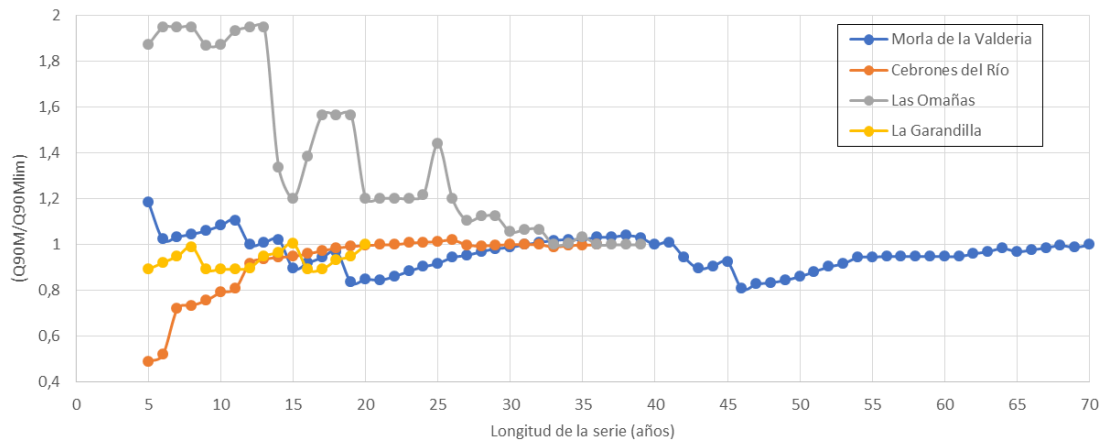
- Clasificación mensual (Q90M / Q90M_{LIM})



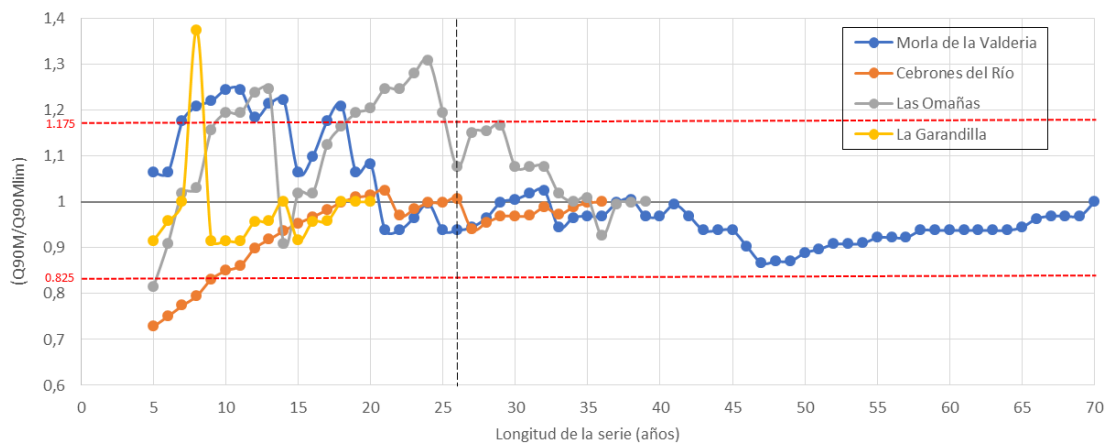
(Q90M/Q90Mlim) de noviembre en las estaciones de aforo en función de la longitud de la serie



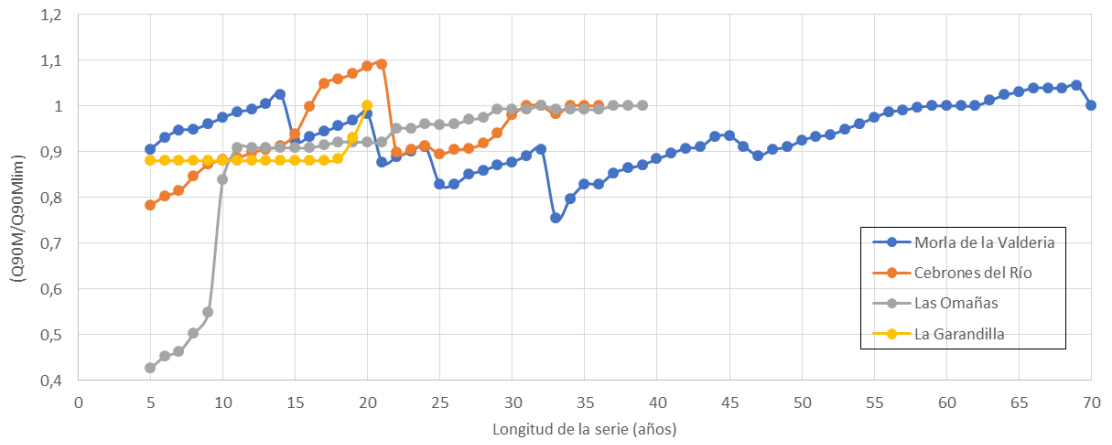
(Q90M/Q90Mlim) de diciembre en las estaciones de aforo en función de la longitud de la serie



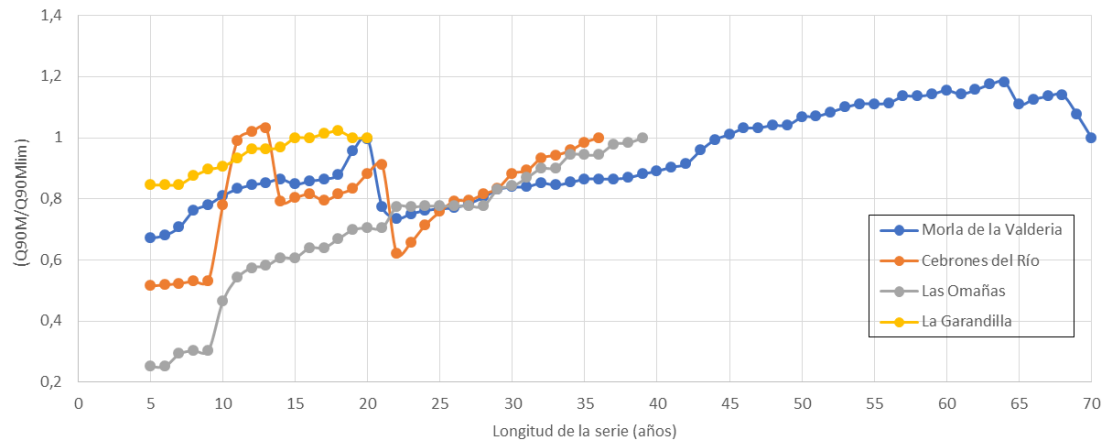
(Q90M/Q90Mlim) de enero en las estaciones de aforo en función de la longitud de la serie



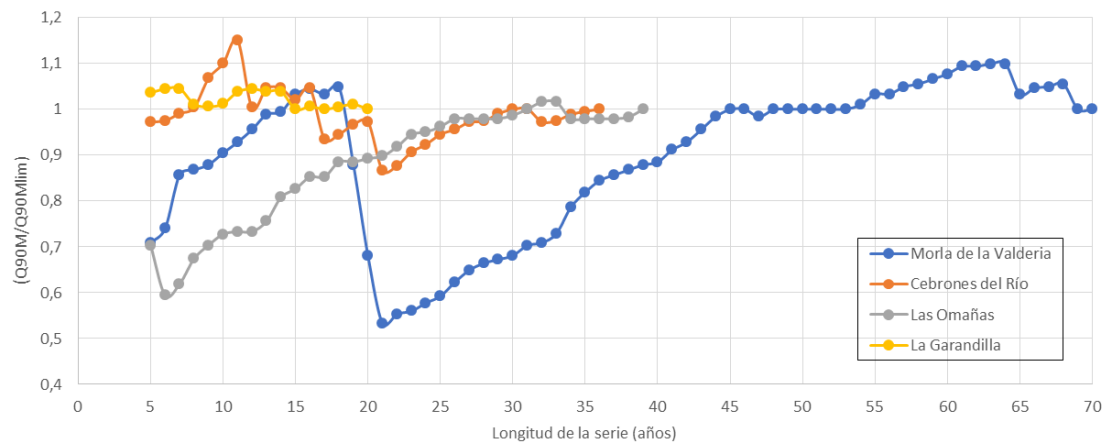
(Q90M/Q90Mlim) de febrero en las estaciones de aforo en función de la longitud de la serie



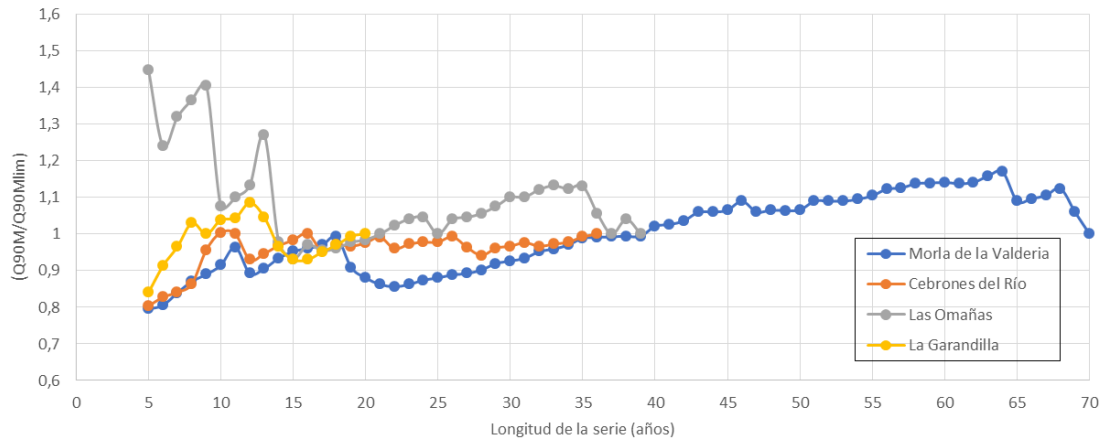
(Q90M/Q90Mlim) de marzo en las estaciones de aforo en función de la longitud de la serie



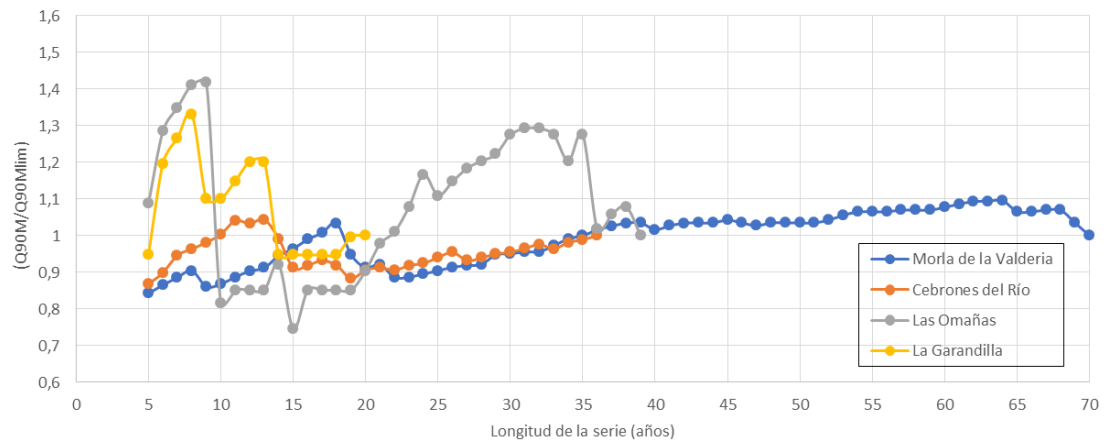
(Q90M/Q90Mlim) de abril en las estaciones de aforo en función de la longitud de la serie



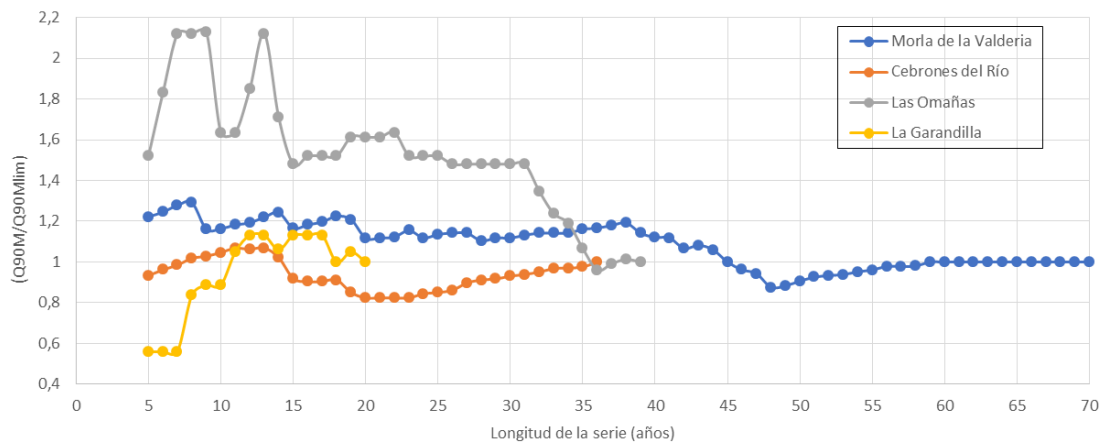
(Q90M/Q90Mlim) de mayo en las estaciones de aforo en función de la longitud de la serie

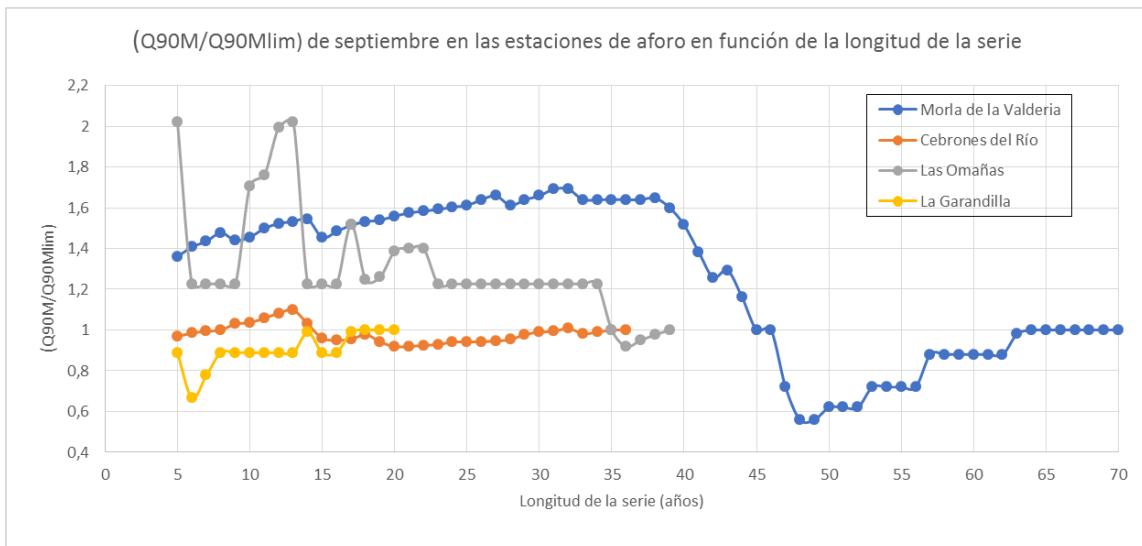
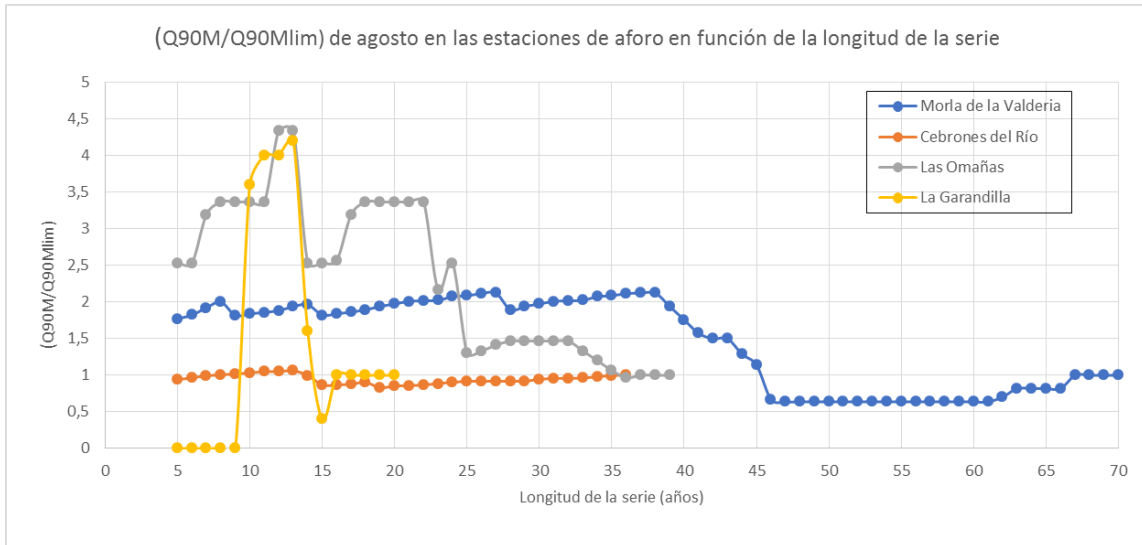


(Q90M/Q90Mlim) de junio en las estaciones de aforo en función de la longitud de la serie

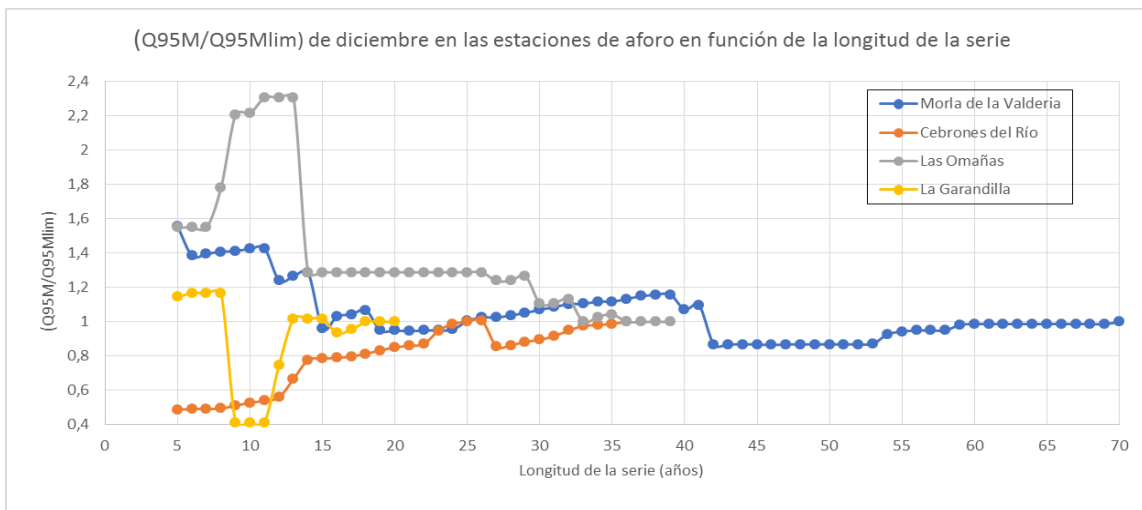
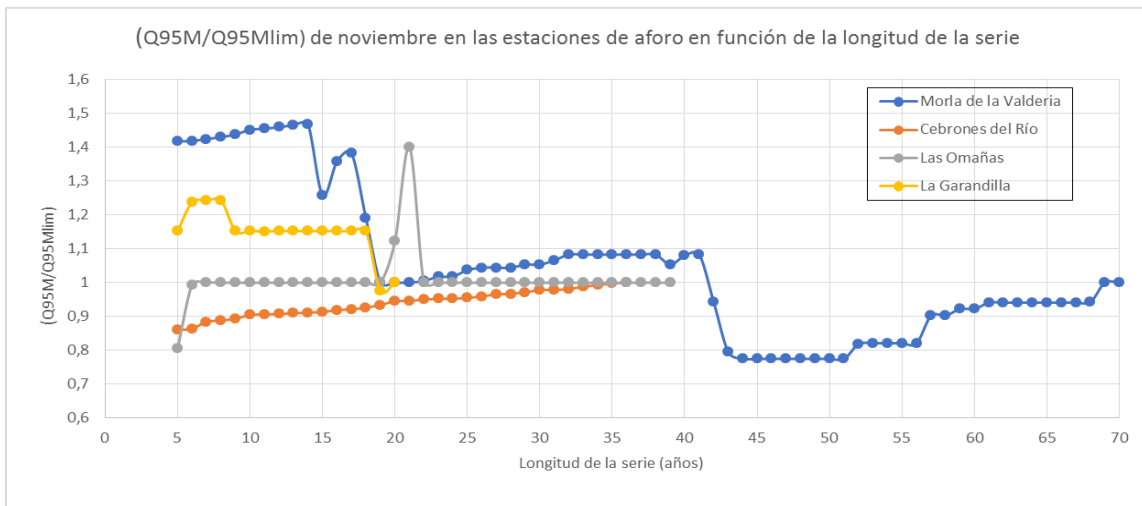
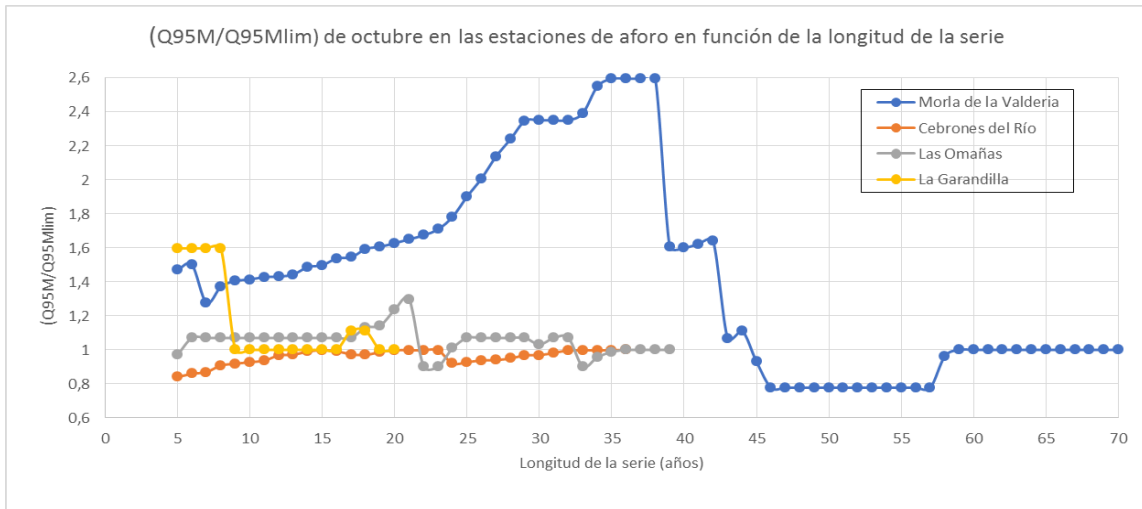


(Q90M/Q90Mlim) de julio en las estaciones de aforo en función de la longitud de la serie

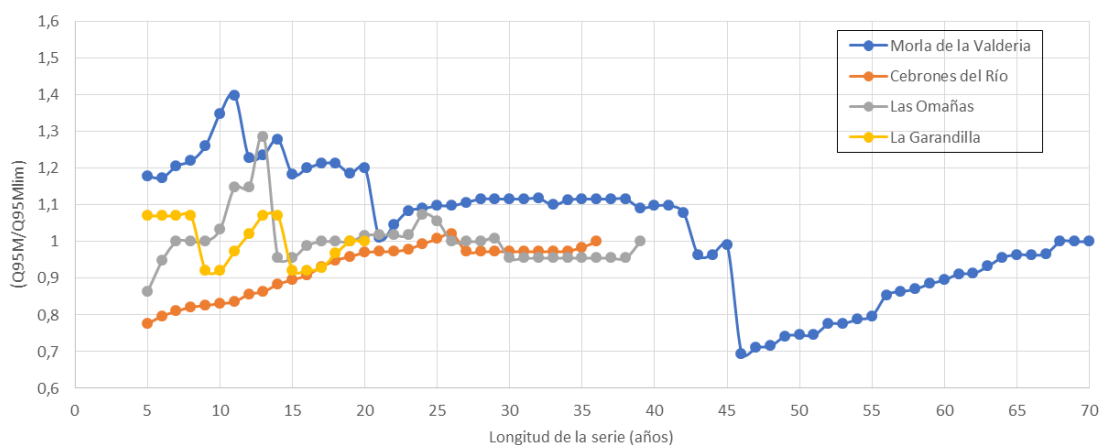




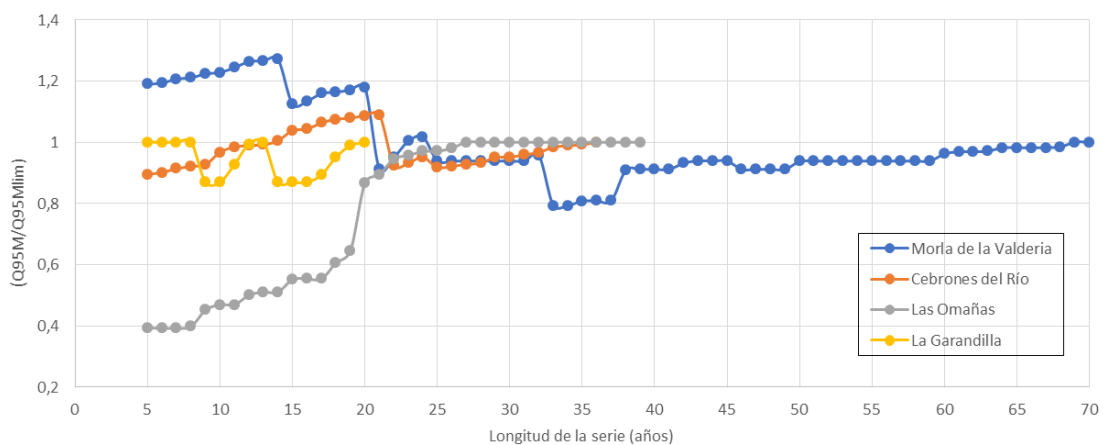
- Clasificación mensual (Q95M / Q95M_{LIM})



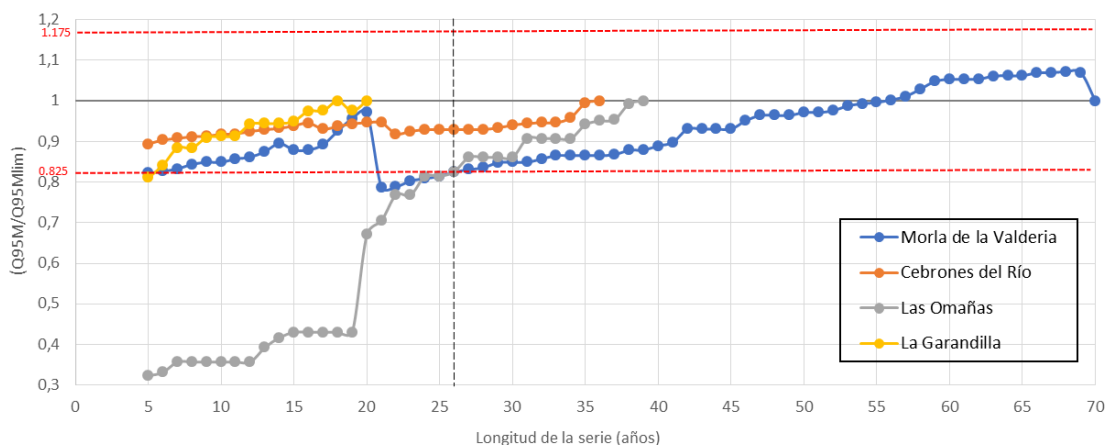
(Q95M/Q95Mlim) de enero en las estaciones de aforo en función de la longitud de la serie



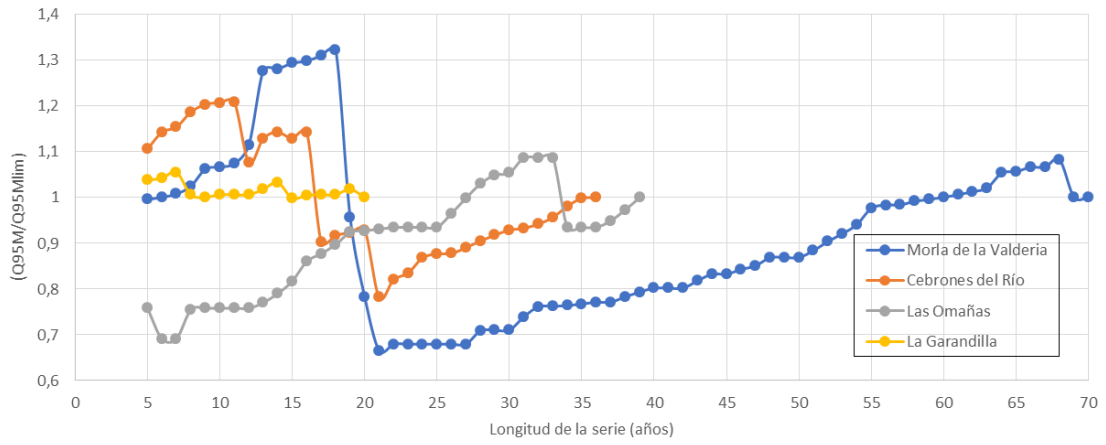
(Q95M/Q95Mlim) de febrero en las estaciones de aforo en función de la longitud de la serie



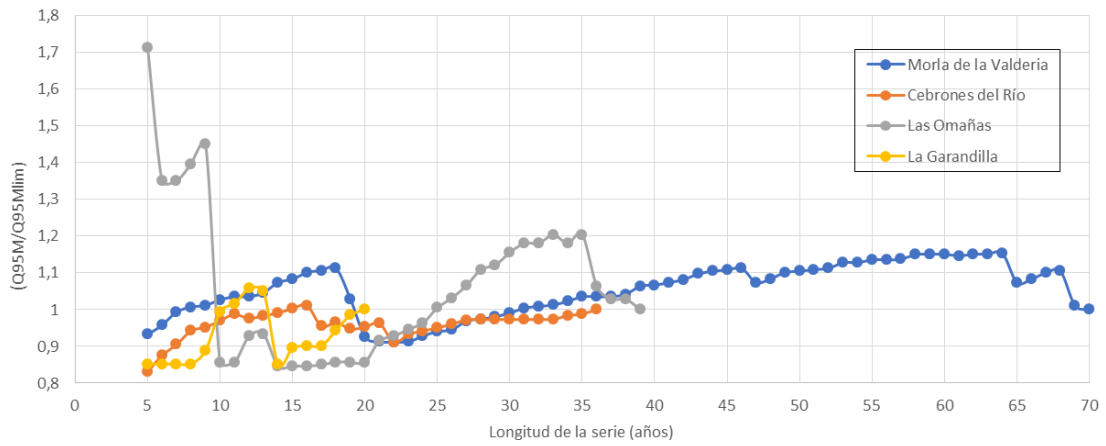
(Q95M/Q95Mlim) de marzo en las estaciones de aforo en función de la longitud de la serie



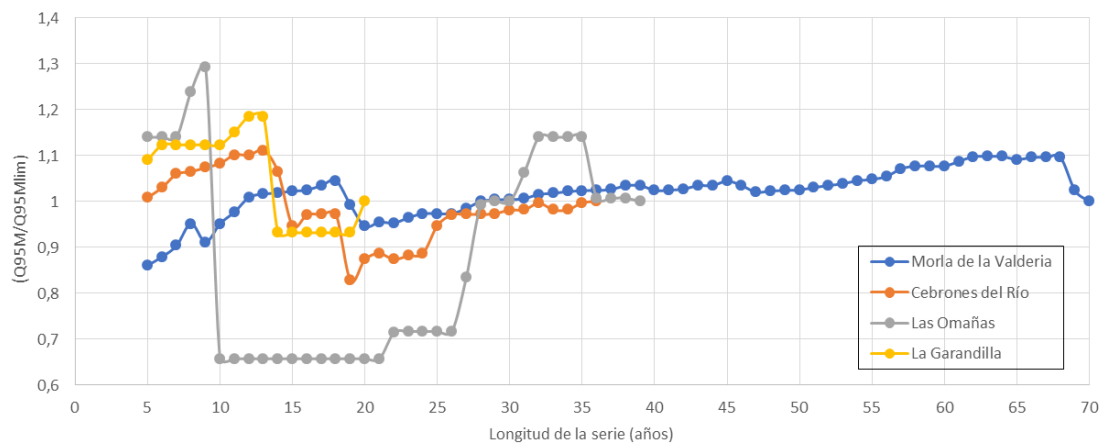
(Q95M/Q95Mlim) de abril en las estaciones de aforo en función de la longitud de la serie

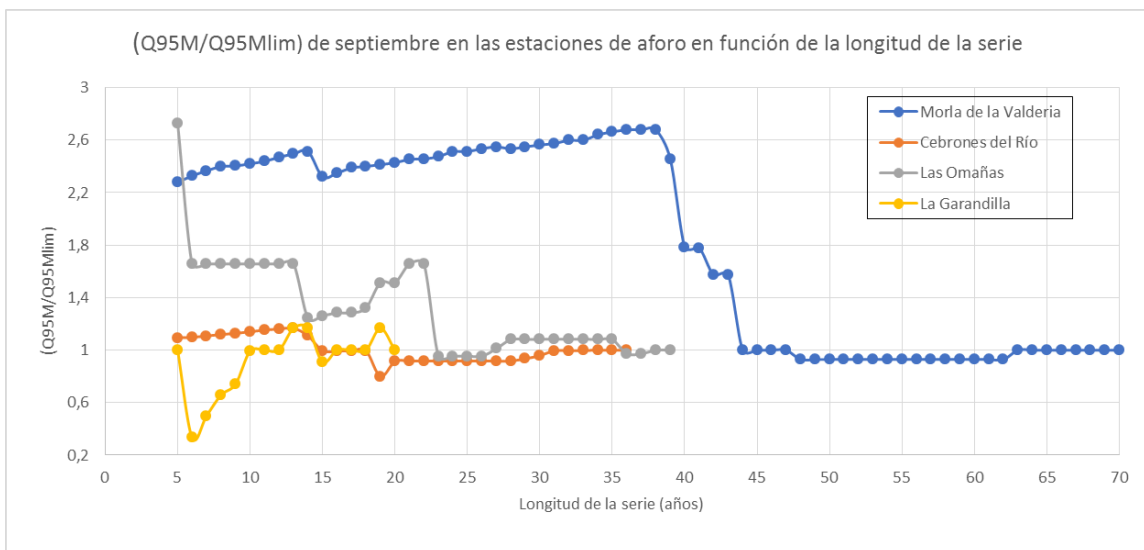
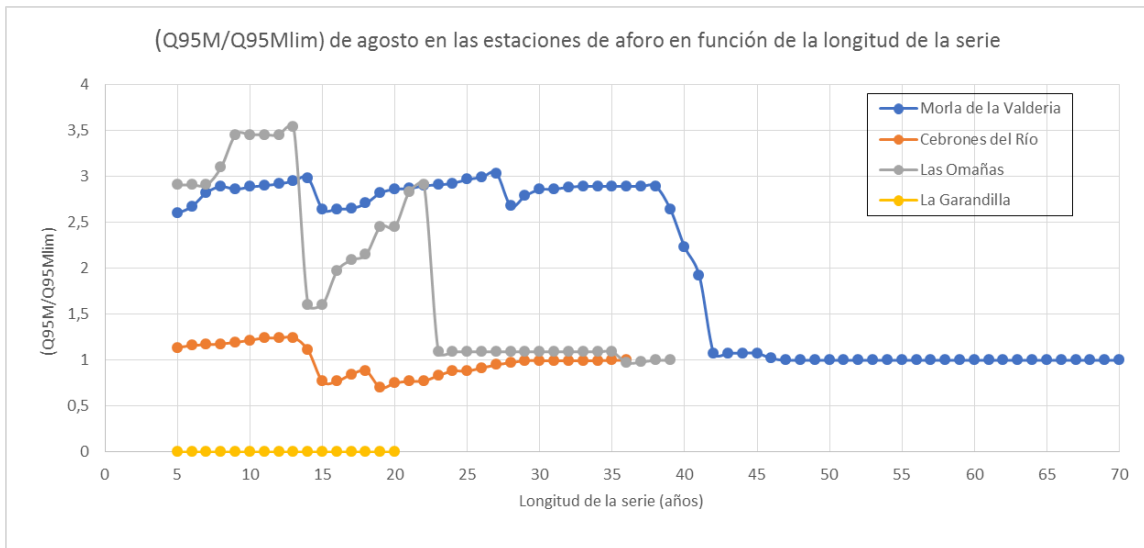
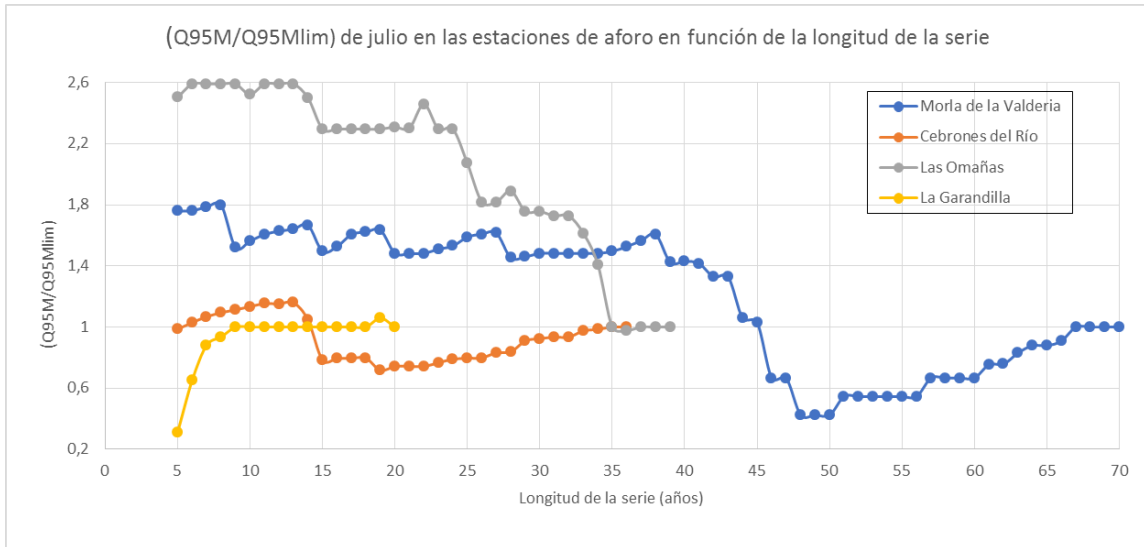


(Q95M/Q95Mlim) de mayo en las estaciones de aforo en función de la longitud de la serie



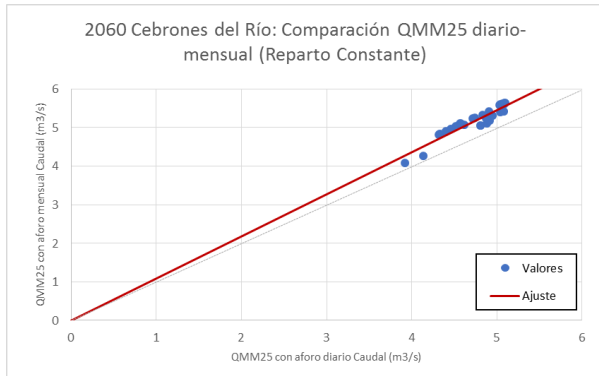
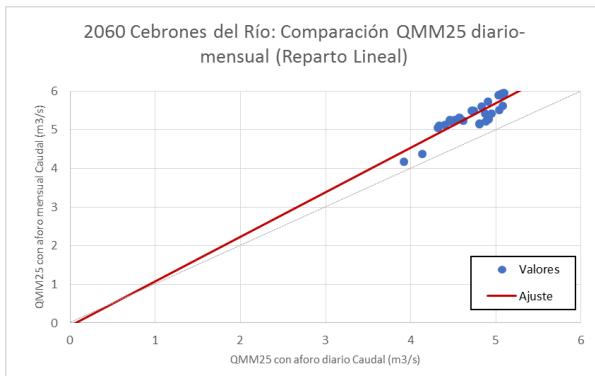
(Q95M/Q95Mlim) de junio en las estaciones de aforo en función de la longitud de la serie



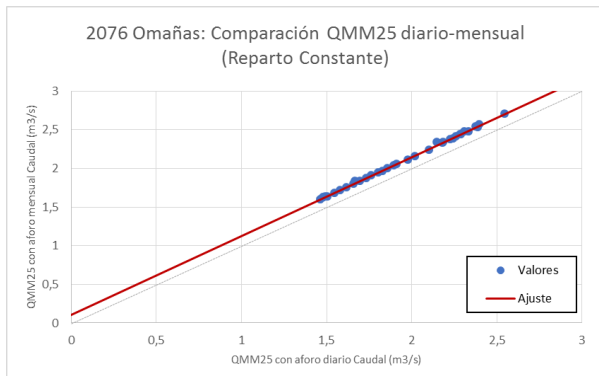
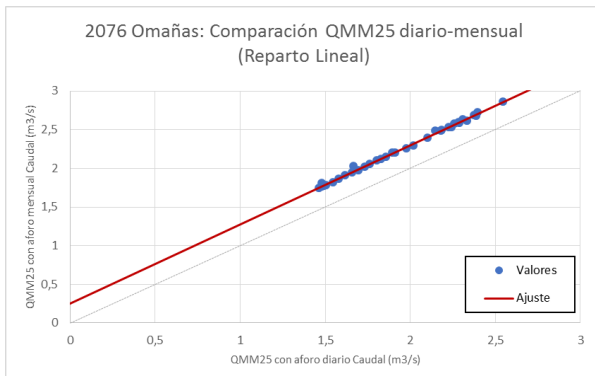


Anexo 7. Gráficos comparativos de caudales ecológicos: datos diarios originales vs estimados (reparto): Media móvil de orden 25

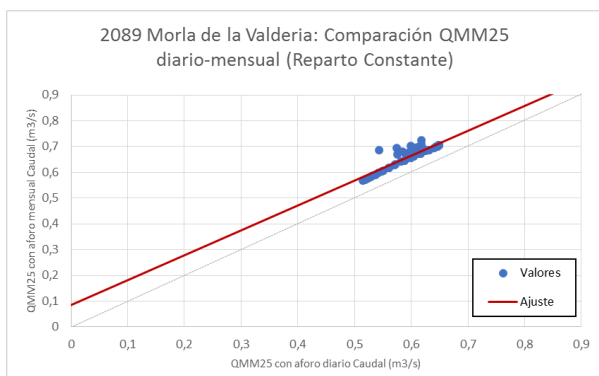
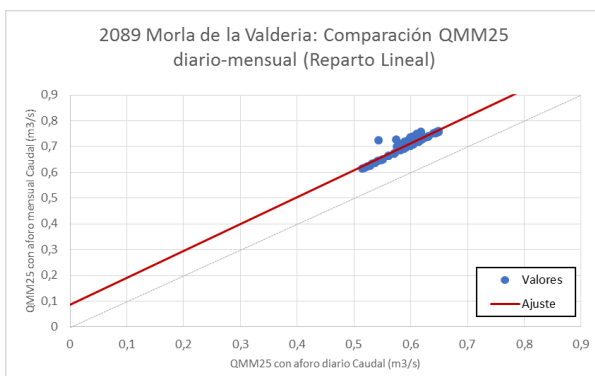
- Estación de aforo EA 2060 Cebrones del Río



- Estación de aforo EA 2076 Las Omañas

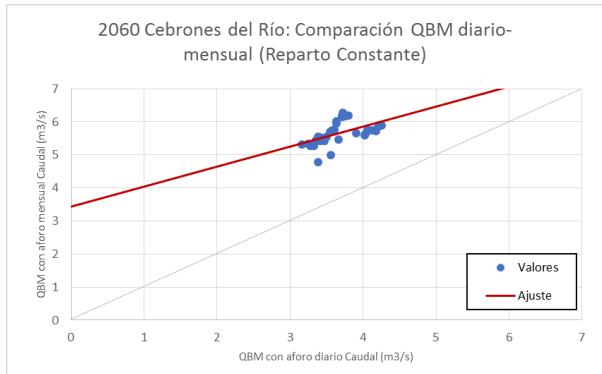
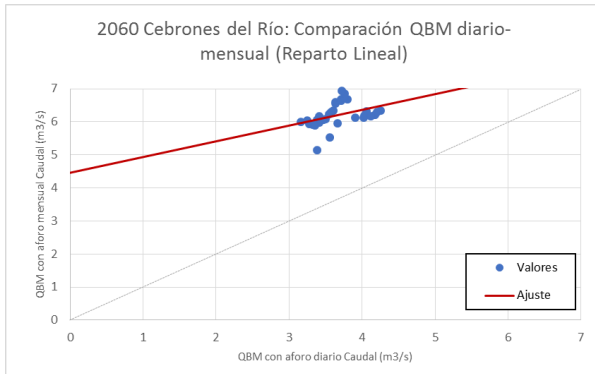


- Estación de aforo EA 2089 Morla de la Valderia

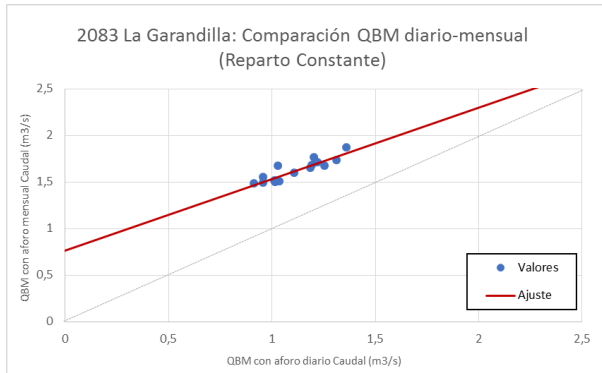
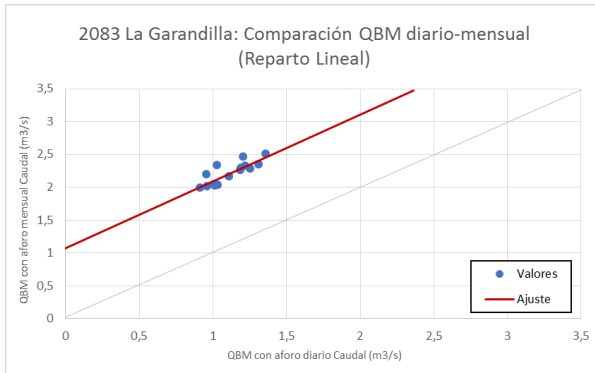


Anexo 8. Gráficos comparativos de caudales ecológicos: datos diarios originales vs estimados (reparto): Caudal básico de mantenimiento

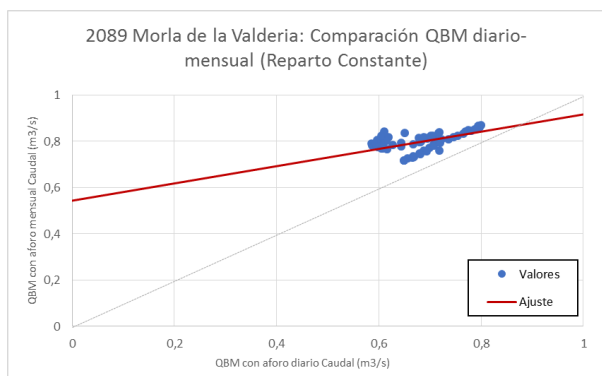
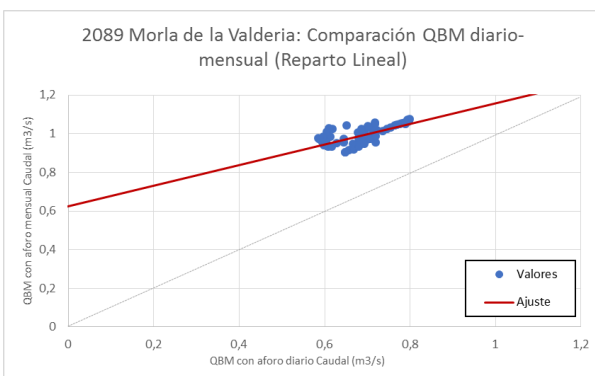
- Estación de aforo EA 2060 Cebrones del Río



- Estación de aforo EA 2083 La Garandilla

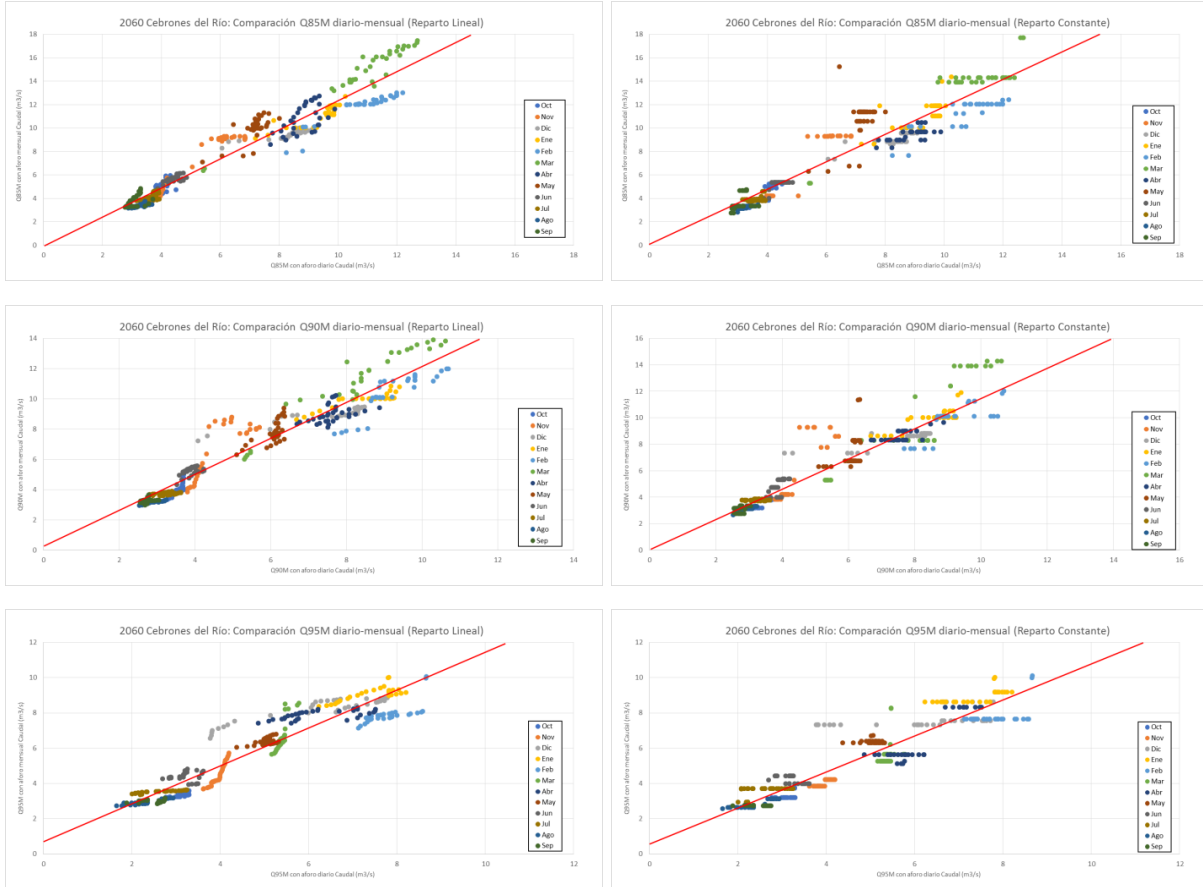


- Estación de aforo EA 2089 Morla de la Valderia

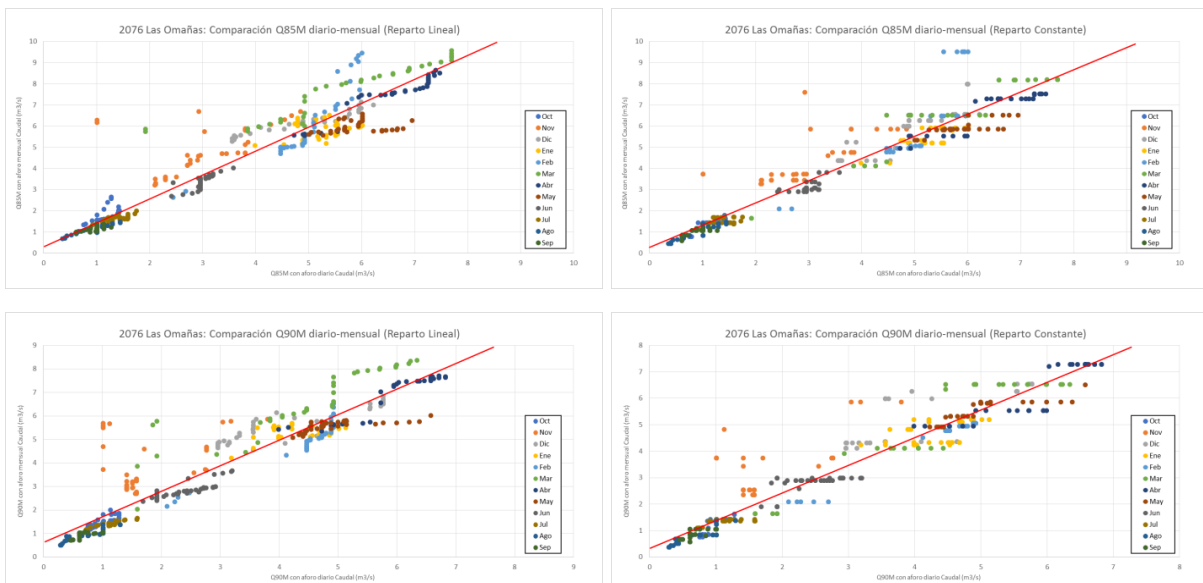


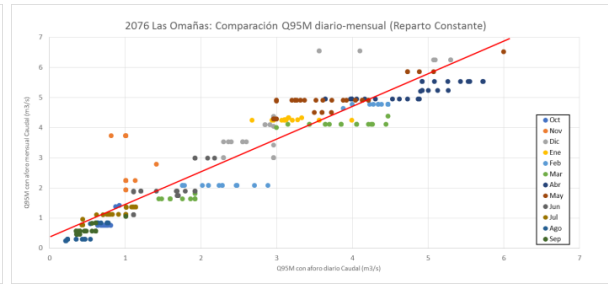
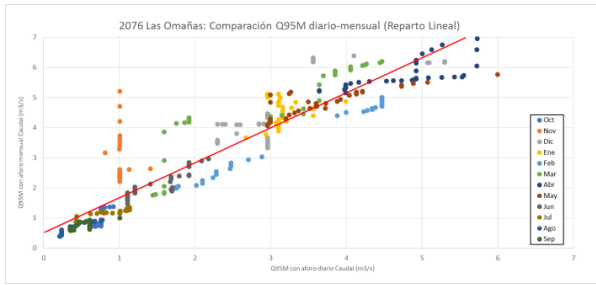
Anexo 9. Gráficos comparativos de caudales ecológicos: datos diarios originales vs estimados (reparto): Percentiles de clasificación mensual

- Estación de aforo EA 2060 Cebrones del Río

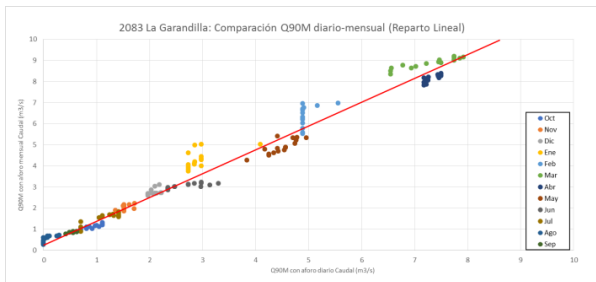
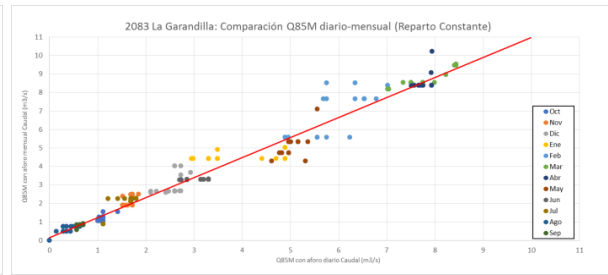
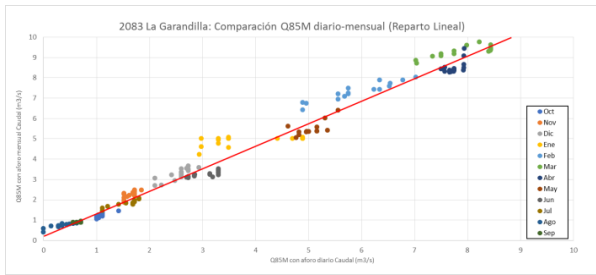


- Estación de aforo EA 2076 Las Omañas



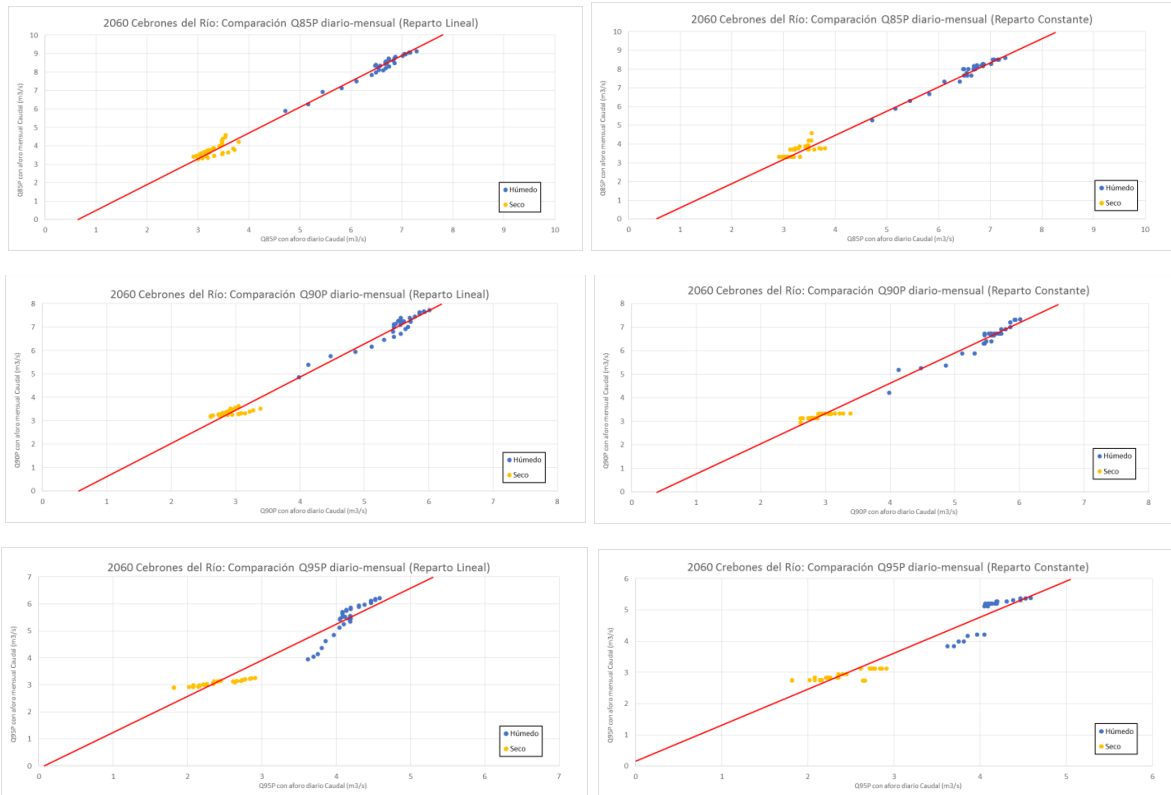


- Estación de aforo EA 2083 La Garandilla

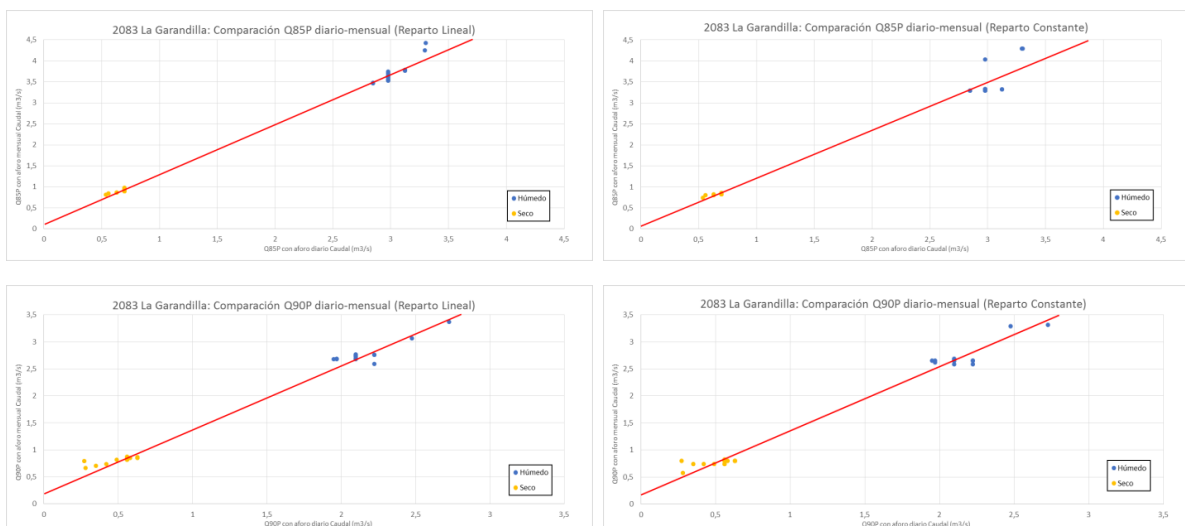


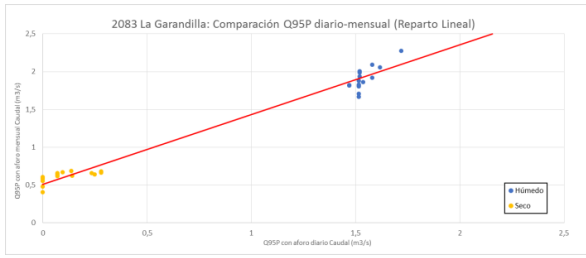
Anexo 10. Gráficos comparativos de caudales ecológicos: datos diarios originales vs estimados (reparto): Percentiles de clasificación por periodos

- Estación de aforo EA 2060 Cebrones del Río

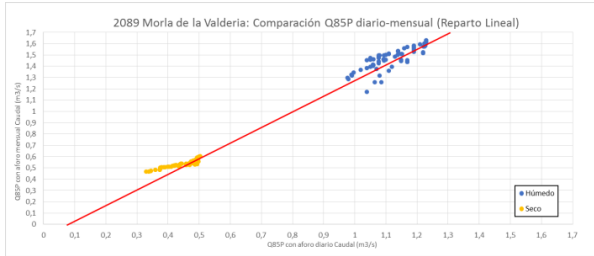


- Estación de aforo EA 2083 La Garandilla



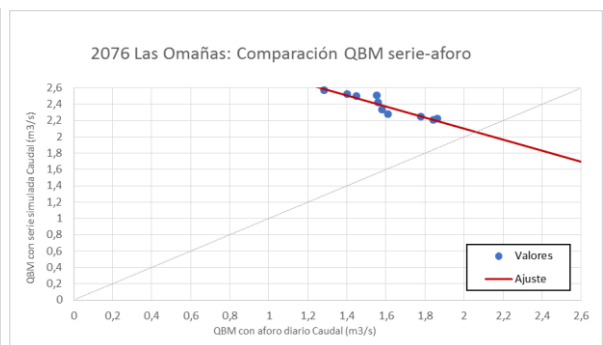
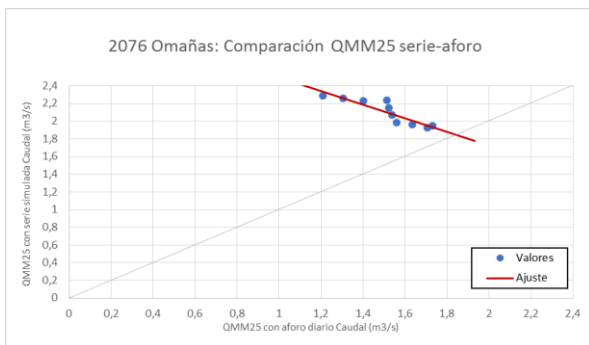


- Estación de aforo EA 2089 Morla de la Valderia



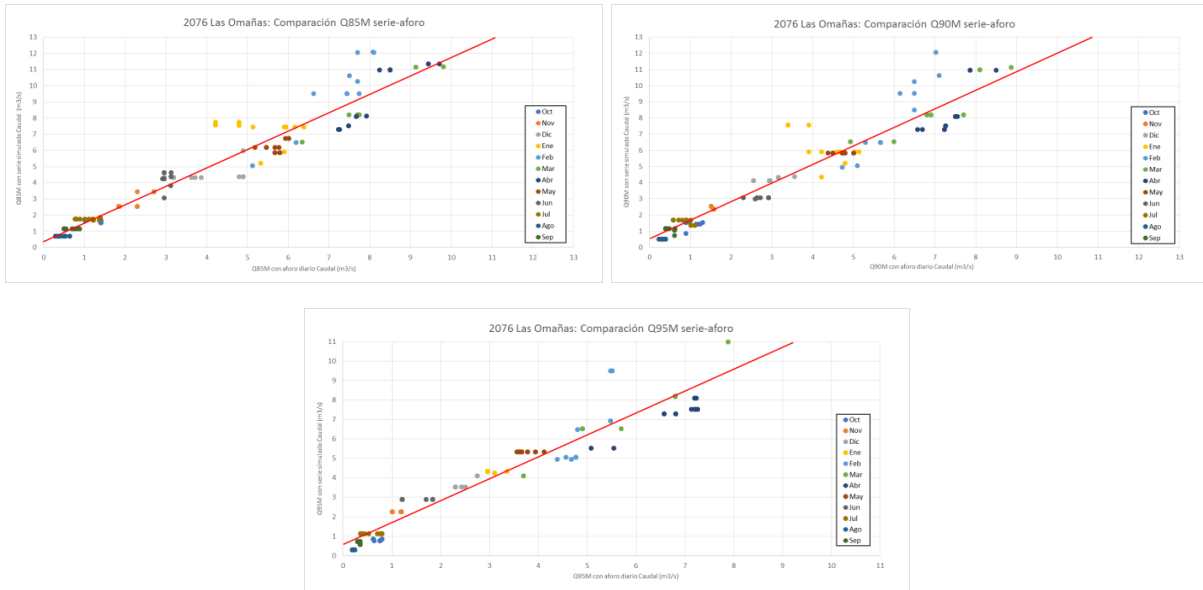
Anexo 11. Comparación de caudales ecológicos: Métodos de variables de centralización

- Estación de aforo EA 2076 Las Omañas



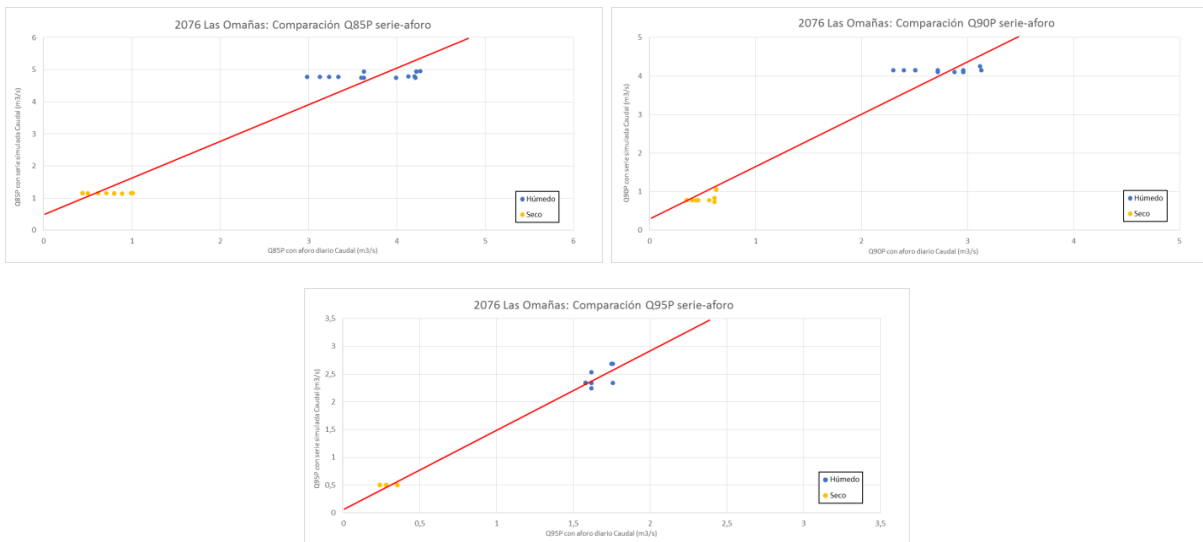
Anexo 12. Comparación de caudales ecológicos: Método de percentiles a escala mensual

- Estación de aforo EA 2076 Las Omañas



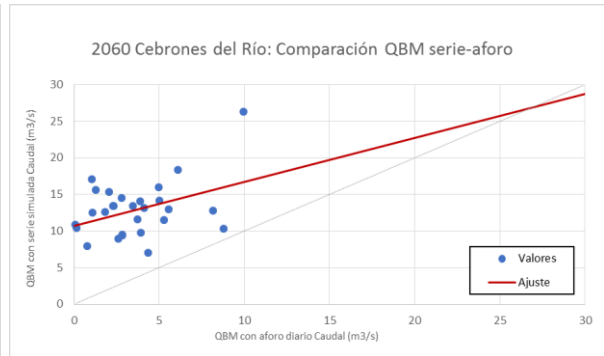
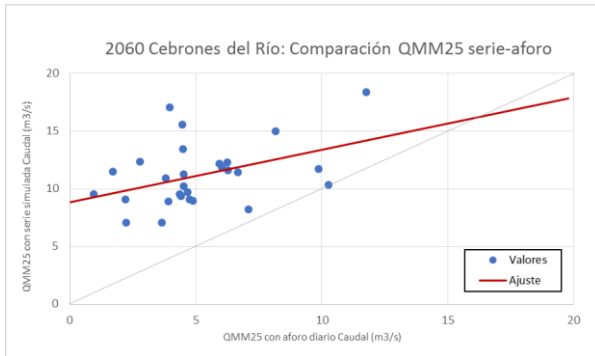
Anexo 13. Comparación de caudales ecológicos: Método de percentiles por periodos

- Estación de aforo EA 2076 Las Omañas

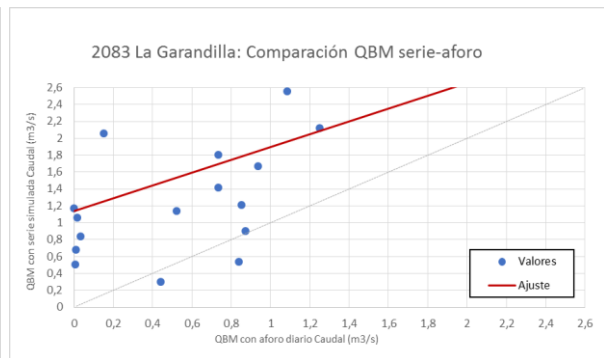
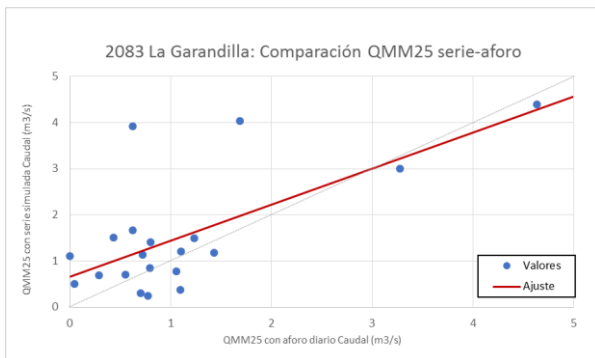


Anexo 14. Comparación de caudales ecológicos anuales: serie - aforo

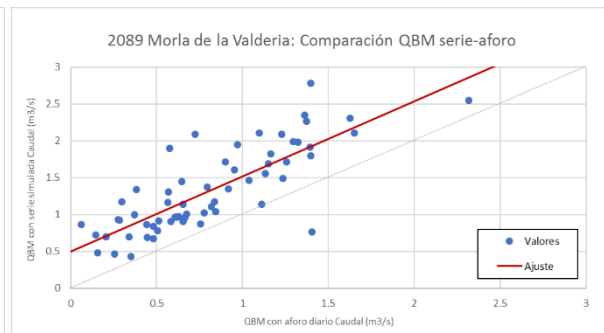
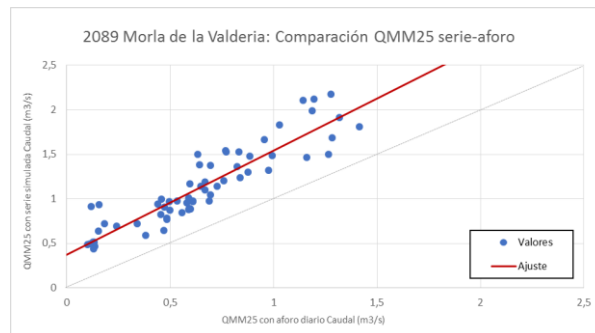
- Estación de aforo EA 2060 Cebrones del Río



- Estación de aforo EA 2083 La Garandilla

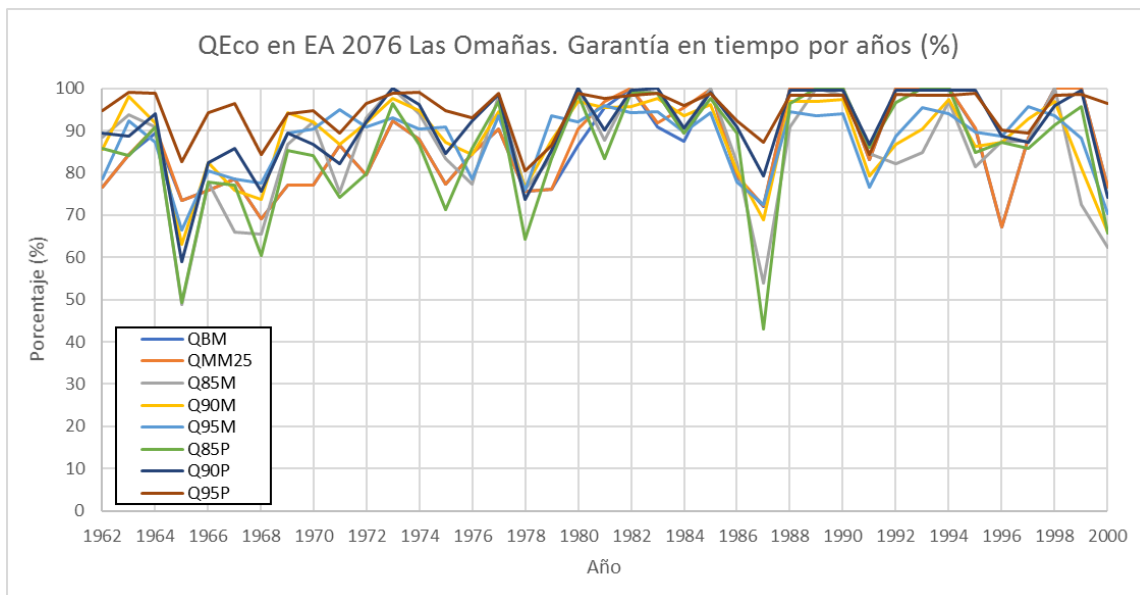


- Estación de aforo EA 2089 Morla de la Valderia

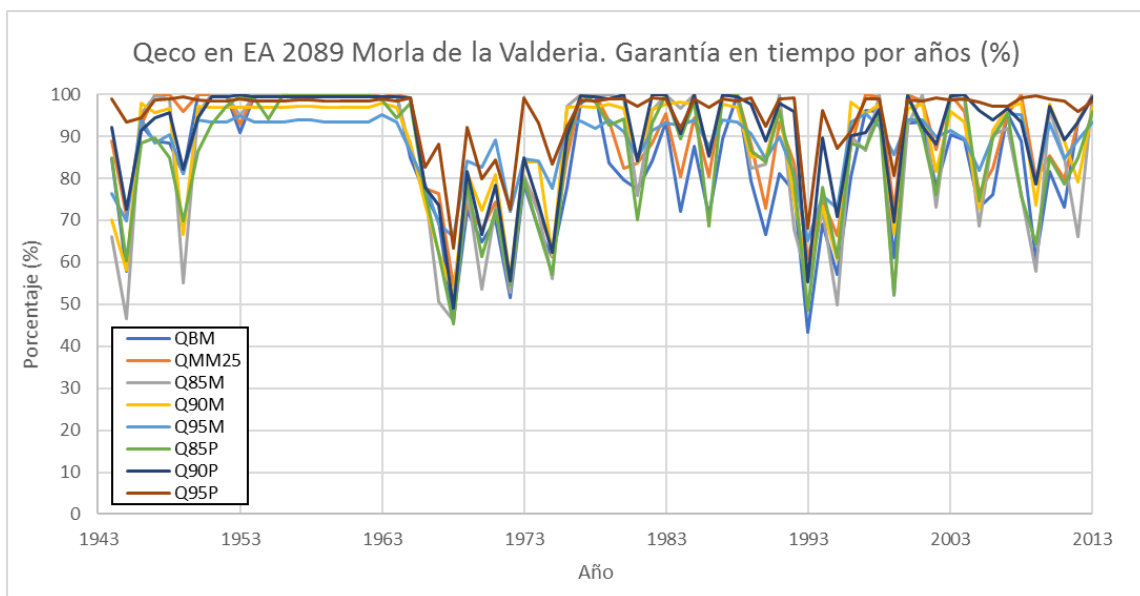


Anexo 15. Gráficos anuales de garantía de los caudales ecológicos en las estaciones de aforo a partir de los datos diarios medidos con la totalidad de la serie disponible

- Estación de aforo EA 2076 Las Omañas

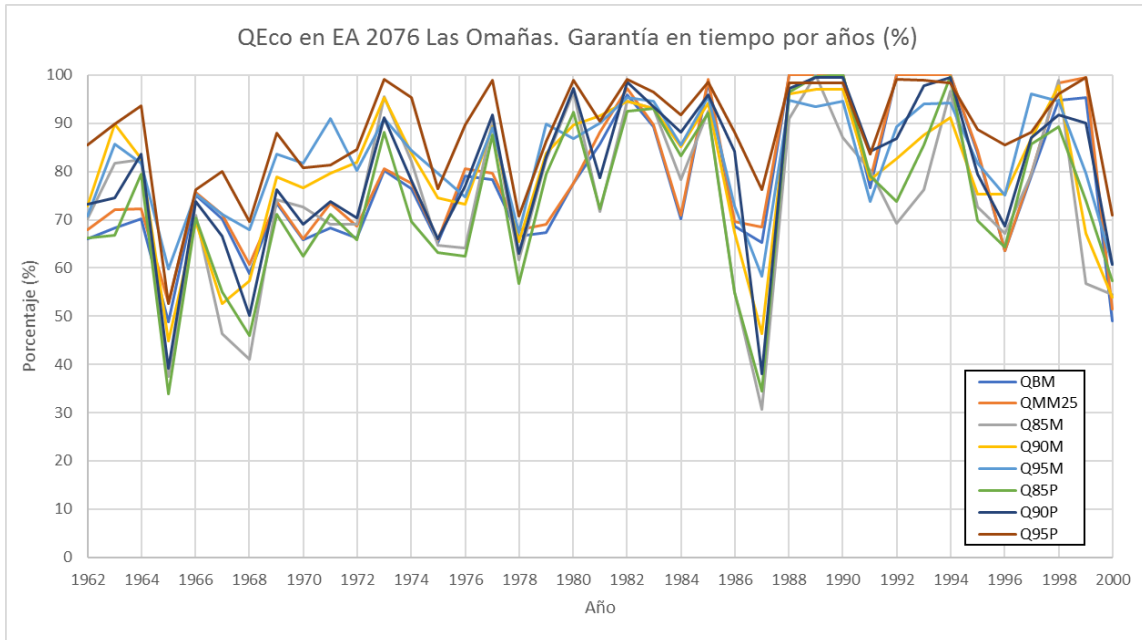


- Estación de aforo EA 2089 Morla de la Valderia

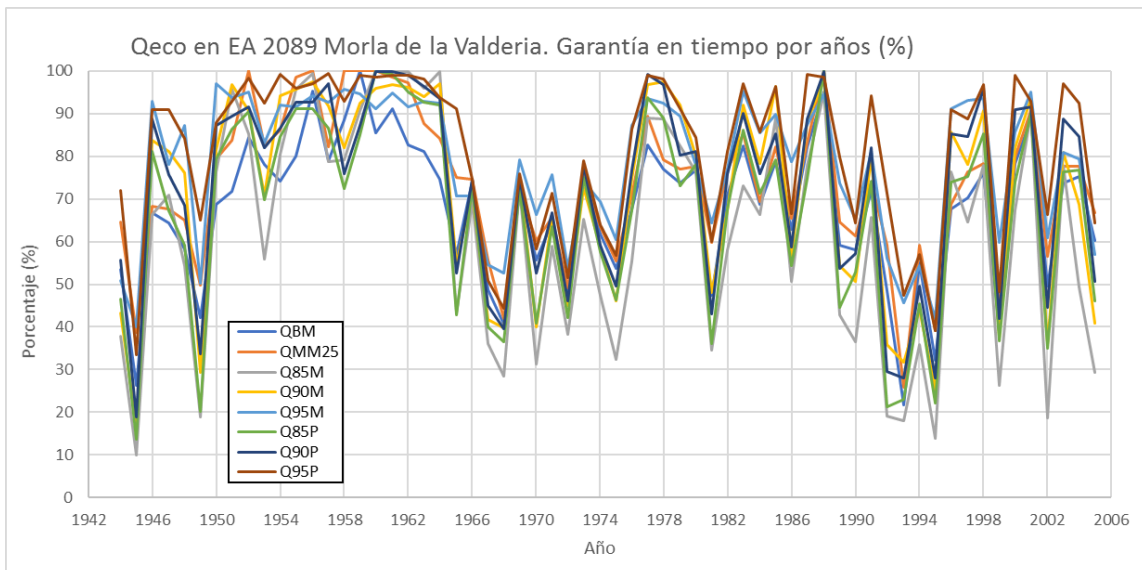


Anexo 16. Gráficos anuales de garantía de los caudales ecológicos en las estaciones de aforo a partir de los datos simulados con la totalidad de la serie coincidente

- Estación de aforo EA 2076 Las Omañas

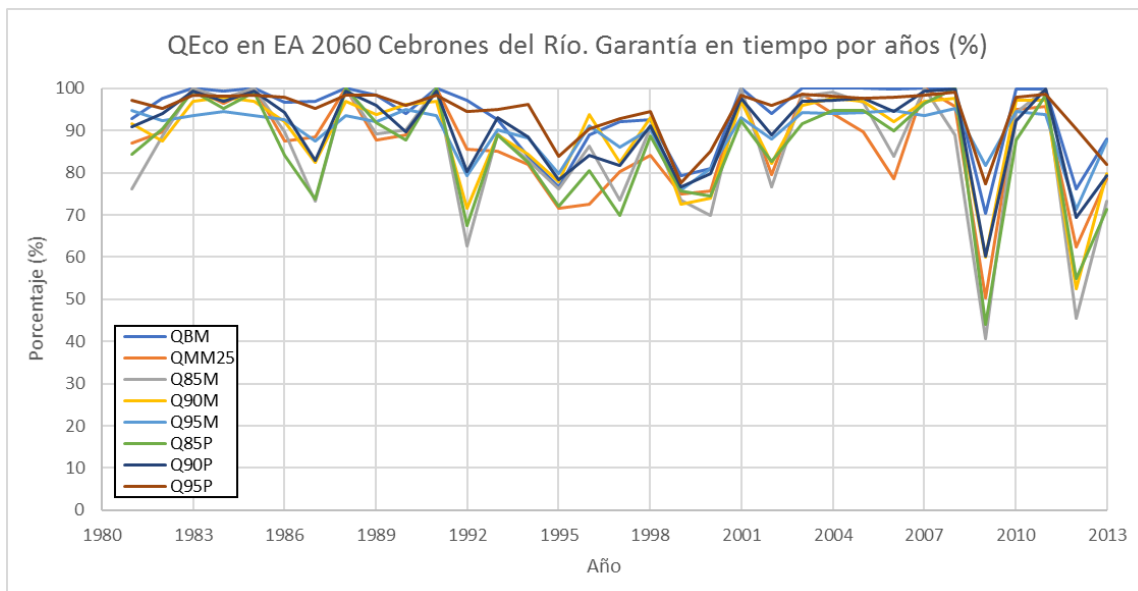


- Estación de aforo EA 2089 Morla de la Valderia



Anexo 17. Gráficos anuales de garantía de los caudales ecológicos en las estaciones de aforo a partir de los datos diarios medidos desde 1980-81

- Estación de aforo EA 2060 Cebrones del Río



Anexo 18. Gráficos anuales de garantía de los caudales ecológicos en las estaciones de aforo a partir de los datos simulados desde 1980-81

- Estación de aforo EA 2060 Cebrones del Río

